

# Índice general

<b>Agradecimientos</b>	<b>vii</b>
<b>Resumen</b>	<b>ix</b>
<b>A. Anexo: Resultados del capítulo ??, para todas las escalas</b>	<b>2</b>
A.1. Red de drenaje y perímetro . . . . .	2
A.2. Pendientes . . . . .	5
A.3. Factore de RUSLE . . . . .	9
A.3.1. Factor R . . . . .	9
A.3.2. Factor K . . . . .	13
A.3.3. Factor C . . . . .	17
A.3.4. Factor LS . . . . .	21
A.4. Resultados RUSLE . . . . .	25
<b>B. Anexo: Resultados del capítulo ??, para todas las escalas</b>	<b>30</b>
<b>C. Anexo: Resultados del capítulo ??, para todas las escalas</b>	<b>35</b>

# A. Anexo: Resultados del capítulo ??, para todas las escalas

## A.1. Red de drenaje y perímetro

En esta sección se presentan los cambios en el trazado de la cuenca y en la red de drenaje para la cuenca del río Nare, delimitada hasta la estación El Viento, usando tres técnicas de remuestreo presentadas en el capítulo ?. De la Figura A-1 a la A-9 se presenta el perímetro de referencia (MDE 12.5m), este se encuentra en color gris y la red asociada a este en color rojo, mientras que el perímetro y la red de los MDEs remuestreados está en verde y azul correspondientemente.

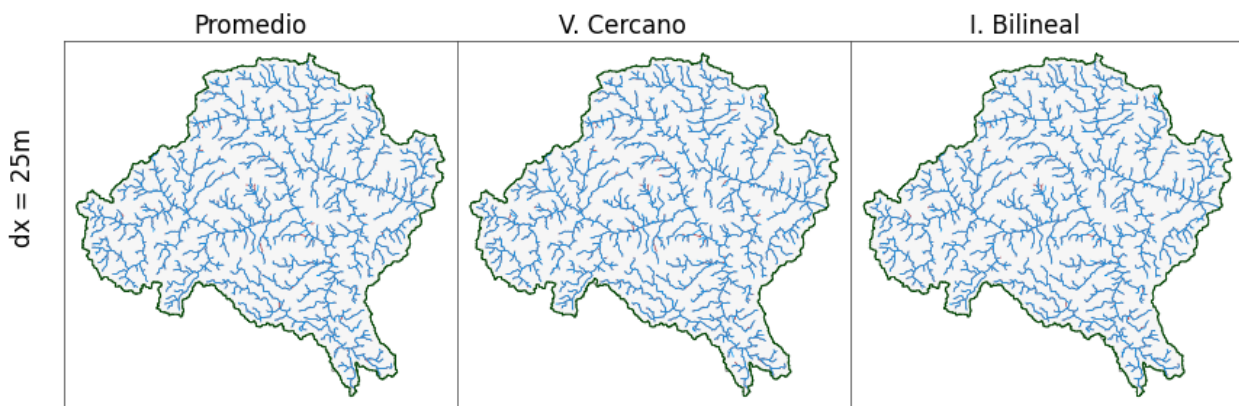


Figura A-1.: Cambios en el trazado de la cuenca y en la red de drenaje para el MDE de 25m.

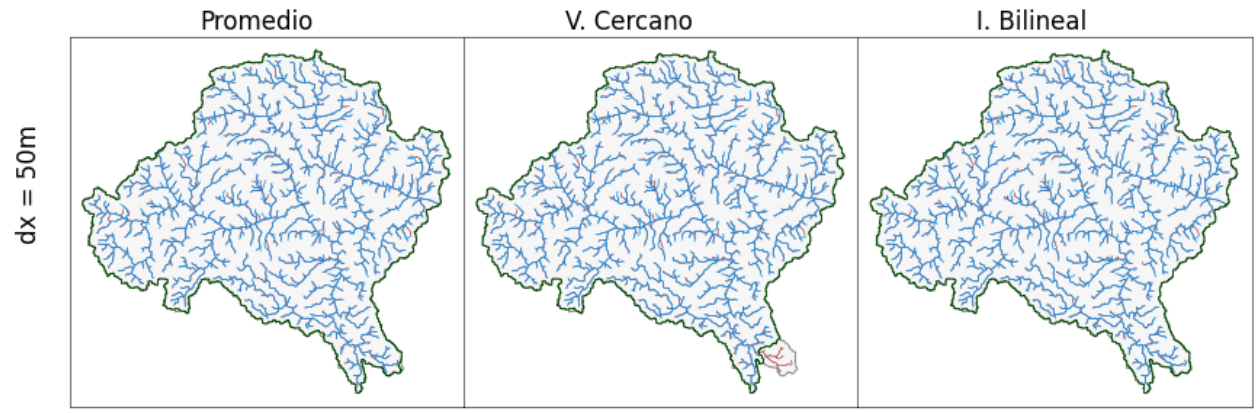


Figura A-2.: Cambios en el trazado de la cuenca y en la red de drenaje para el MDE de 50m.

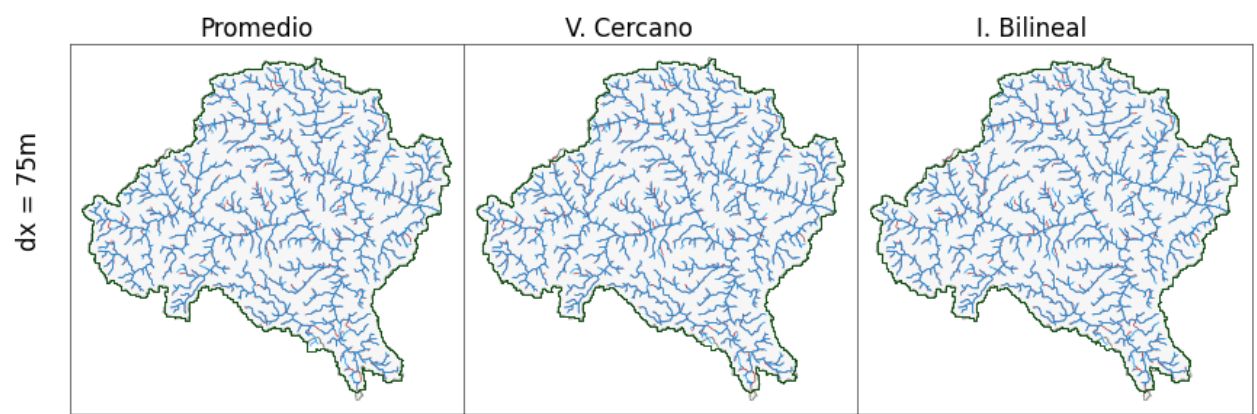


Figura A-3.: Cambios en el trazado de la cuenca y en la red de drenaje para el MDE de 75m.

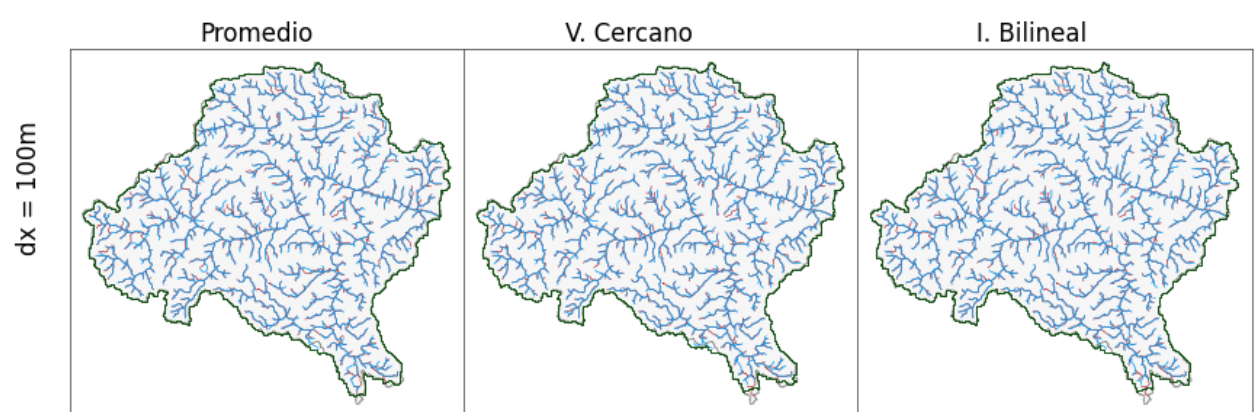


Figura A-4.: Cambios en el trazado de la cuenca y en la red de drenaje para el MDE de 100m.

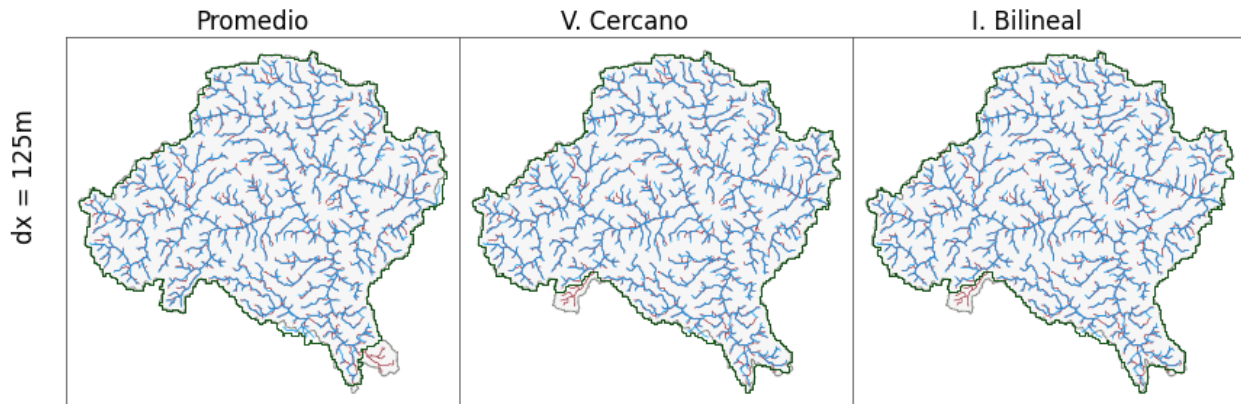


Figura A-5.: Cambios en el trazado de la cuenca y en la red de drenaje para el MDE de 125m.

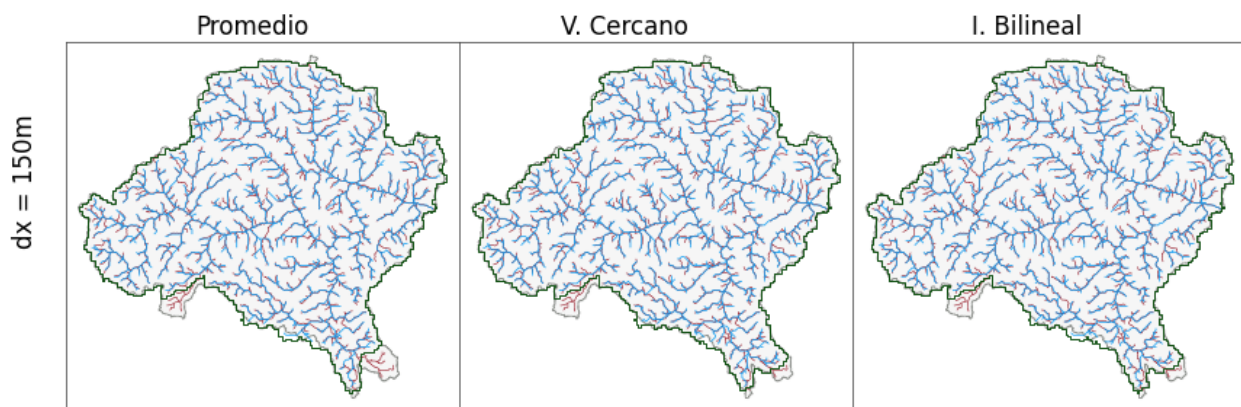


Figura A-6.: Cambios en el trazado de la cuenca y en la red de drenaje para el MDE de 150m.

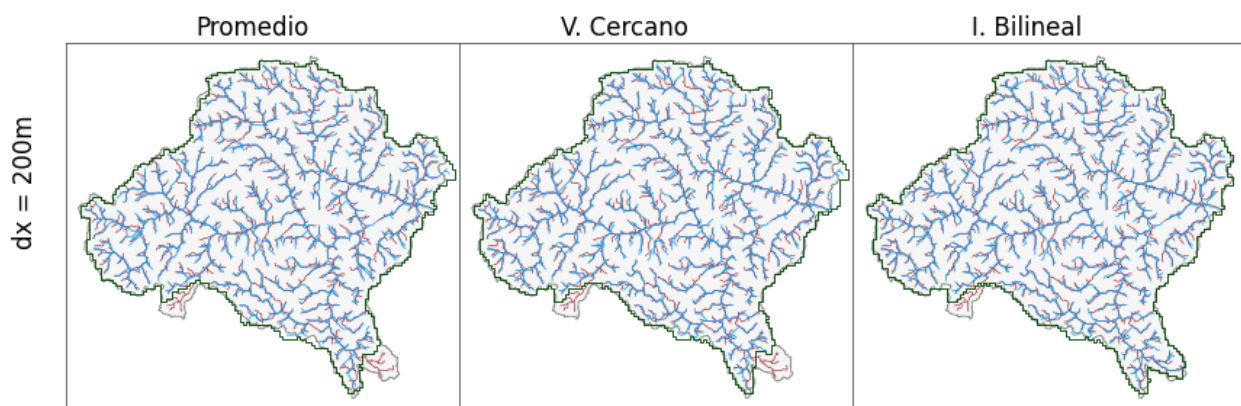


Figura A-7.: Cambios en el trazado de la cuenca y en la red de drenaje para el MDE de 200m.

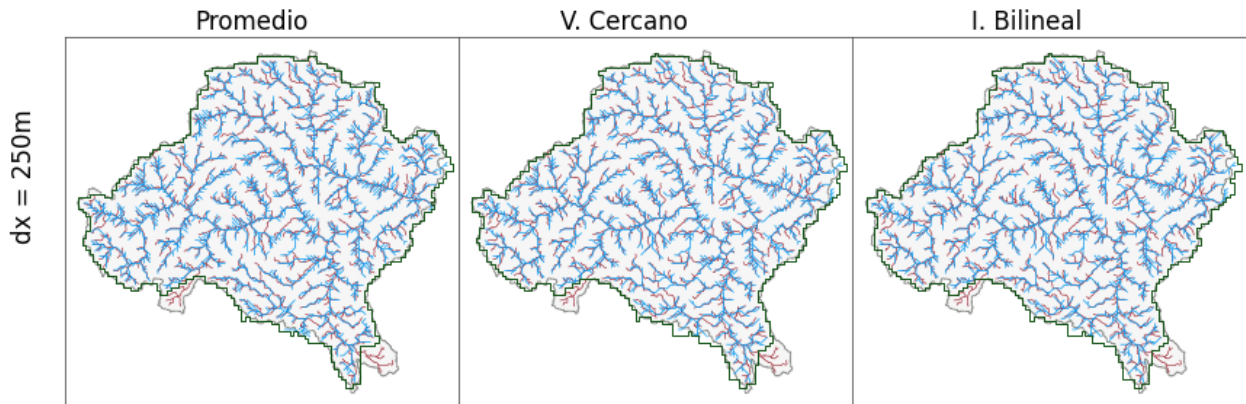


Figura A-8.: Cambios en el trazado de la cuenca y en la red de drenaje para el MDE de 250m.

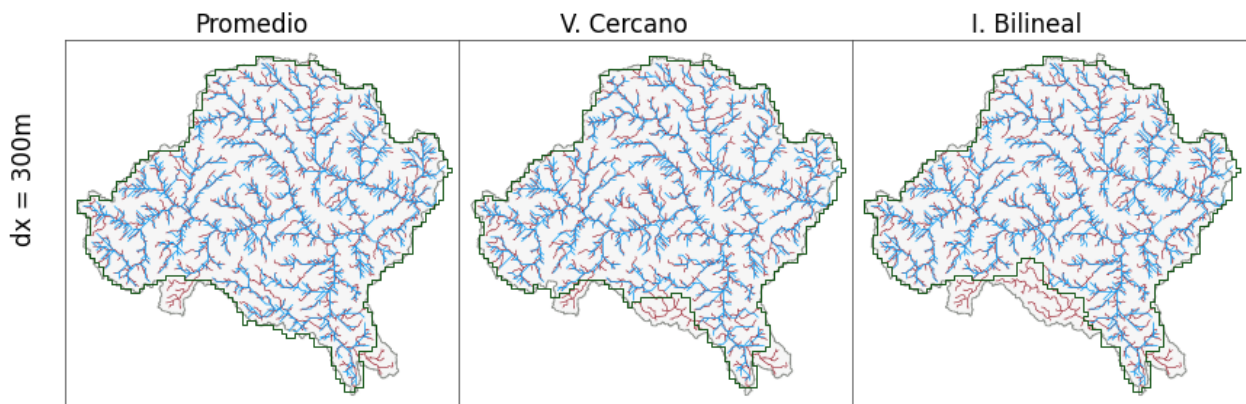


Figura A-9.: Cambios en el trazado de la cuenca y en la red de drenaje para el MDE de 300m.

## A.2. Pendientes

En esta sección se presentan los cambios en las pendientes para la cuenca del río Nare, delimitada hasta la estación El Viento, usando tres técnicas de remuestreo presentadas en el capítulo ???. De la Figura A-10 a la A-19 se presenta la variación espacial de las pendientes para las diferentes escalas.

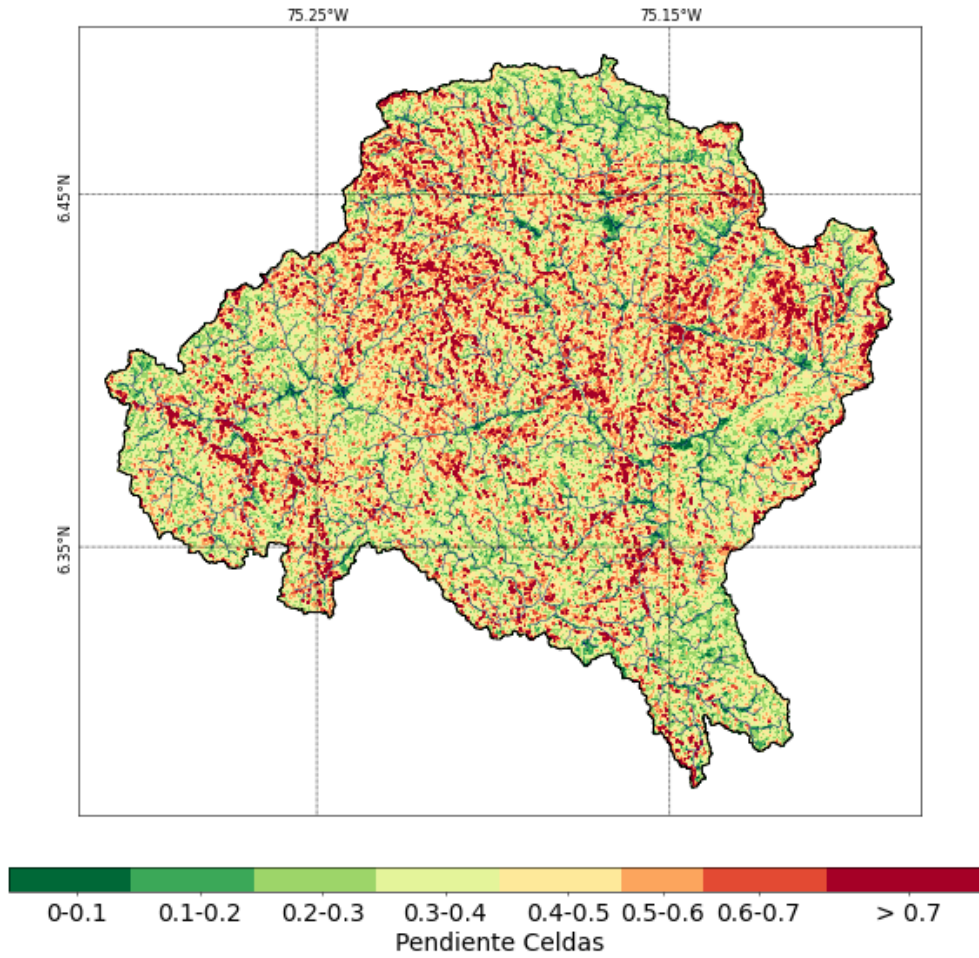


Figura A-10.: Cambios en la pendiente para el MDE de referencia 12.5m.

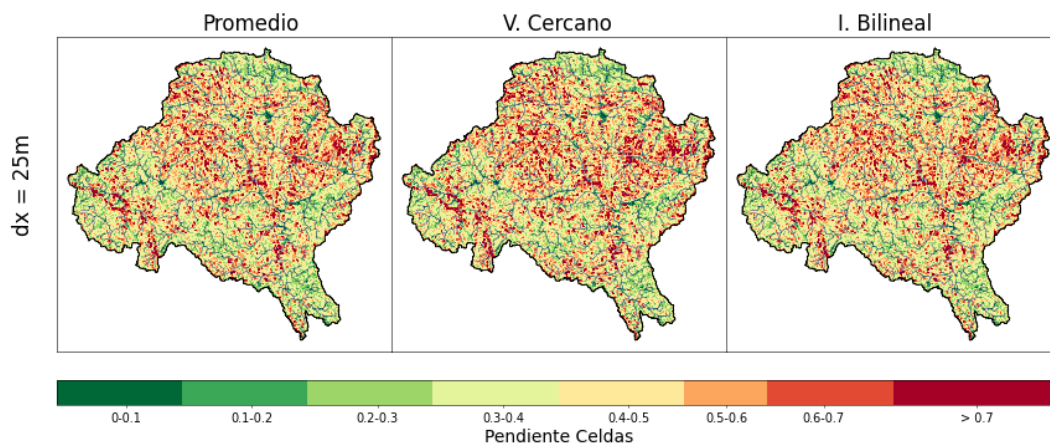


Figura A-11.: Cambios en la pendiente para el MDE de 25m.

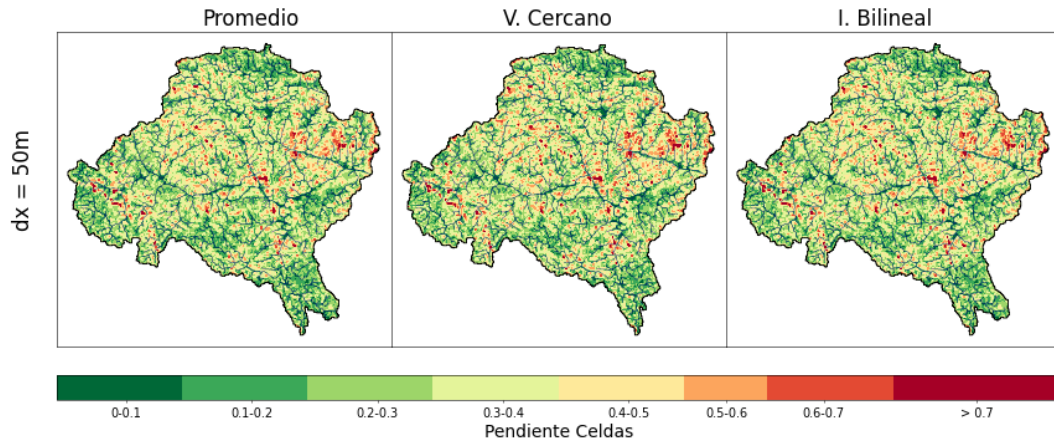


Figura A-12.: Cambios en la pendiente para el MDE de 50m.

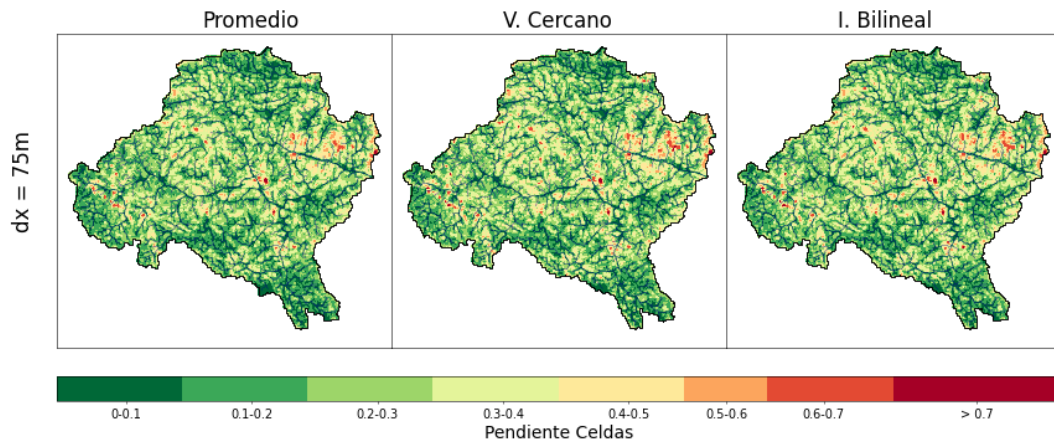


Figura A-13.: Cambios en la pendiente para el MDE de 75m.

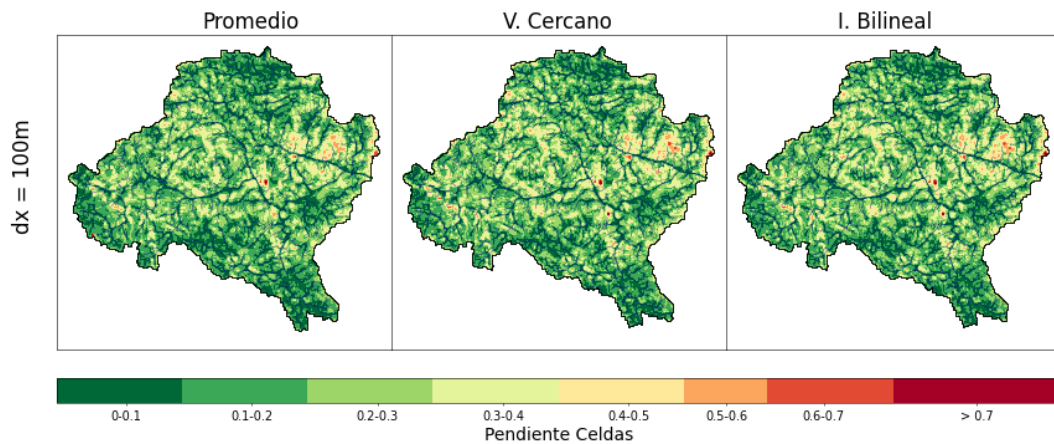


Figura A-14.: Cambios en la pendiente para el MDE de 100m.

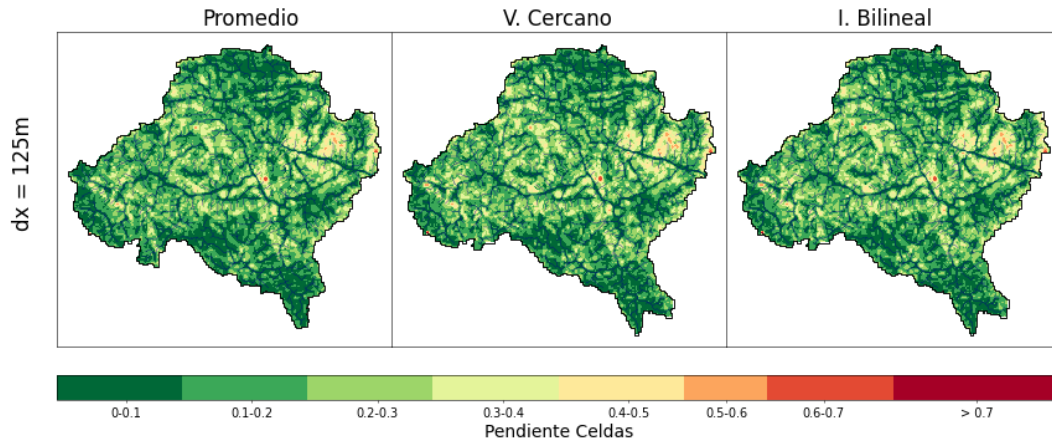


Figura A-15.: Cambios en la pendiente para el MDE de 125m.

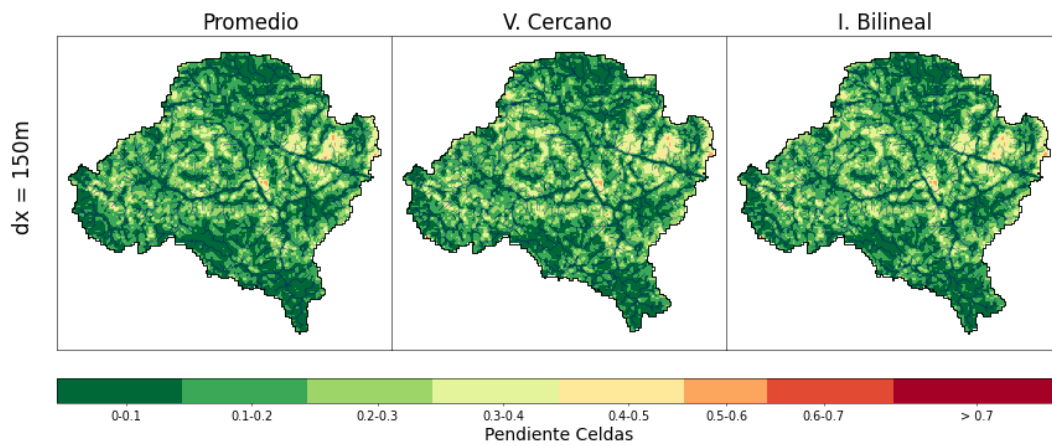


Figura A-16.: Cambios en la pendiente para el MDE de 150m.

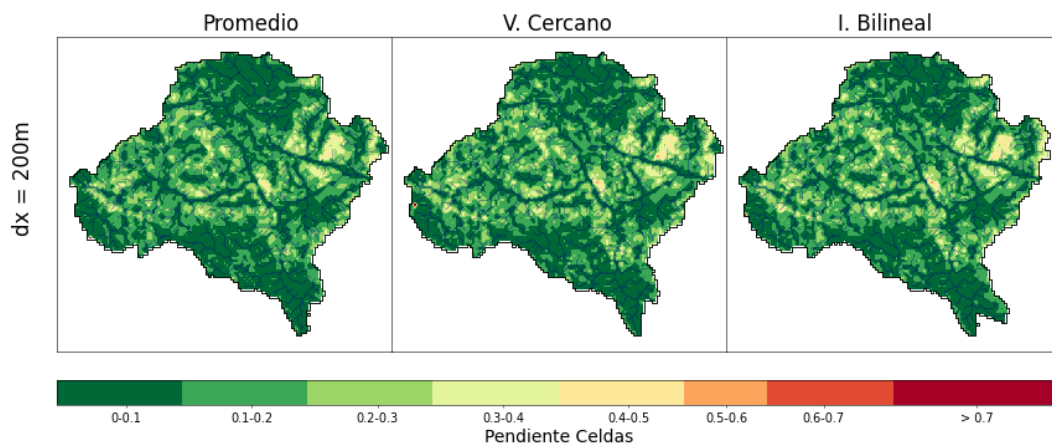


Figura A-17.: Cambios en la pendiente para el MDE de 200m.

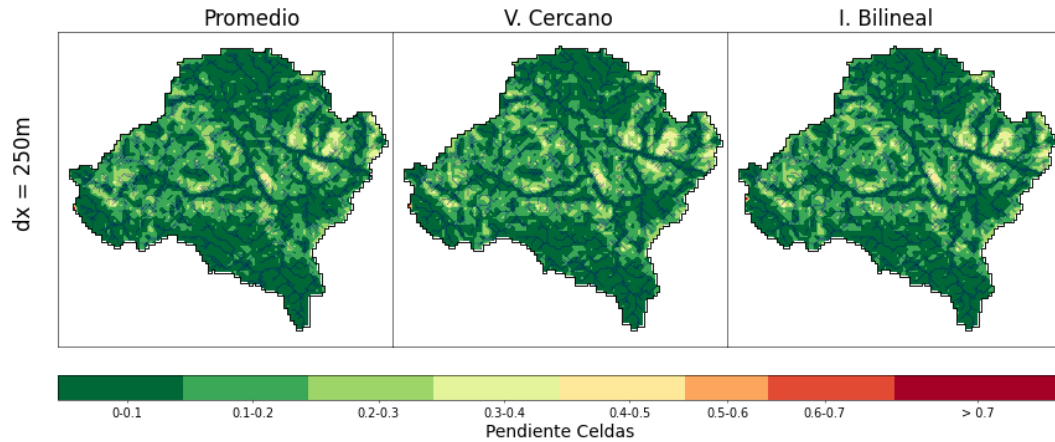


Figura A-18.: Cambios en la pendiente para el MDE de 250m.

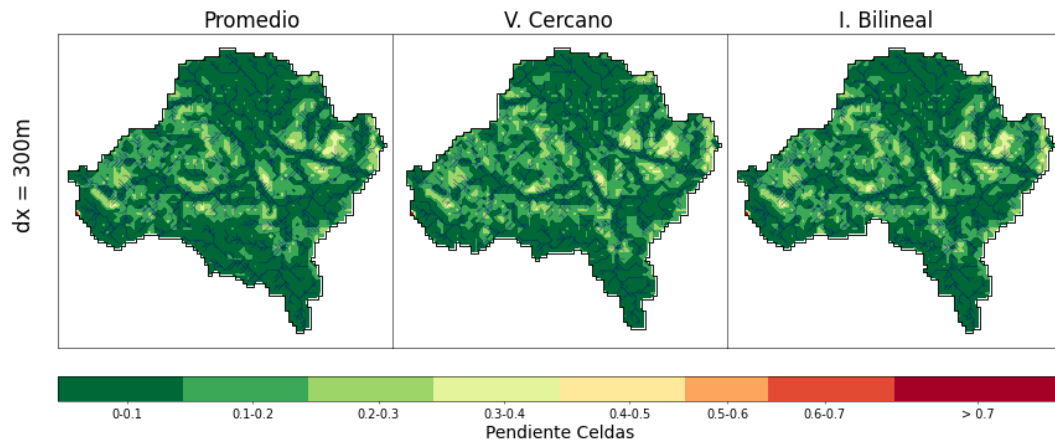


Figura A-19.: Cambios en la pendiente para el MDE de 300m.

## A.3. Factore de RUSLE

En esta sección se presentan los cambios en las pendientes para la cuenca del río Nare, delimitada hasta la estación El Viento, usando tres técnicas de remuestreo presentadas en el capítulo ??.

### A.3.1. Factor R

De la Figura A-20 a la A-29 se presenta la variación espacial del factor R para las diferentes escalas.

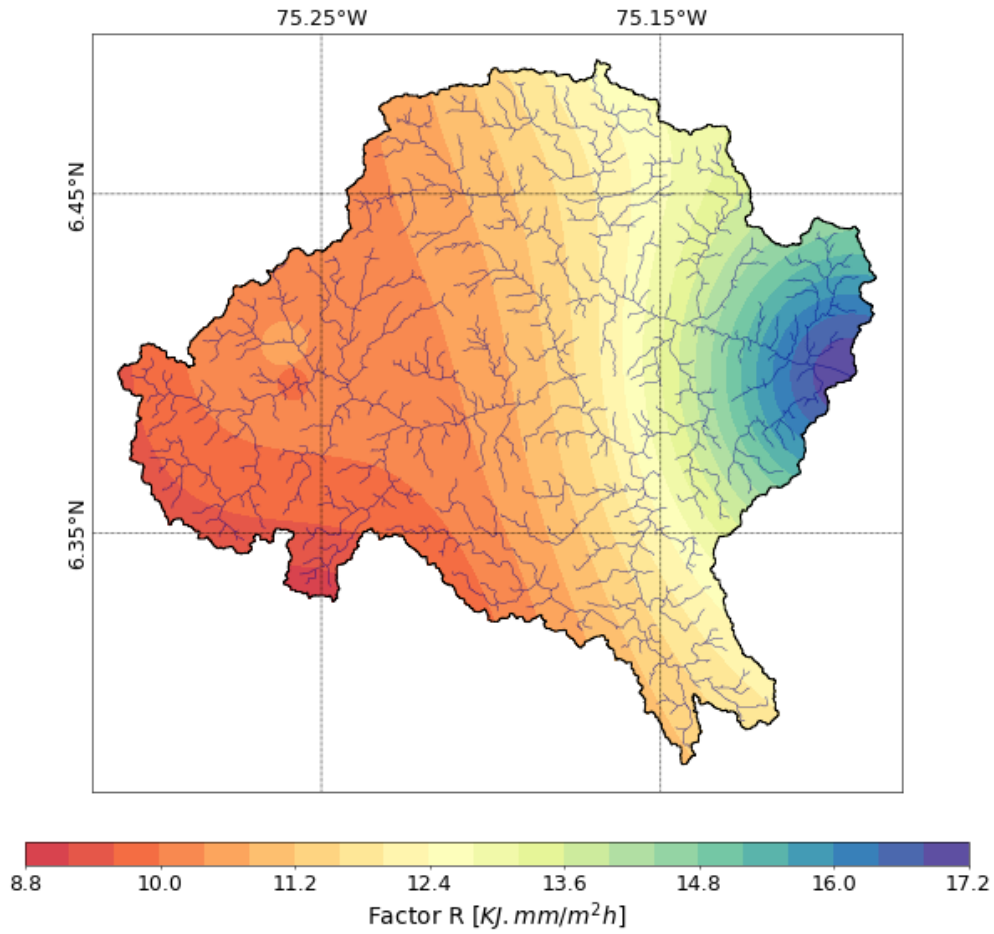


Figura A-20.: Cambios en el factor R para el MDE de referencia 12.5m.

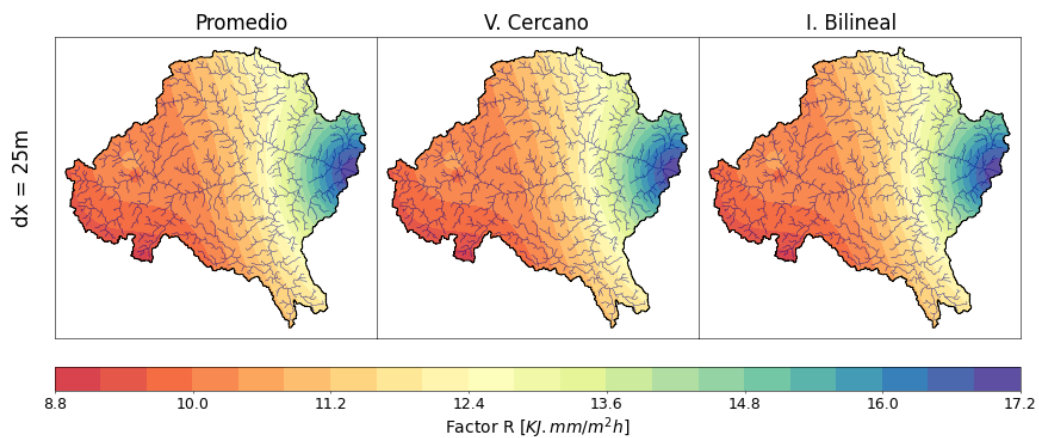


Figura A-21.: Cambios en el factor R para el MDE de 25m.

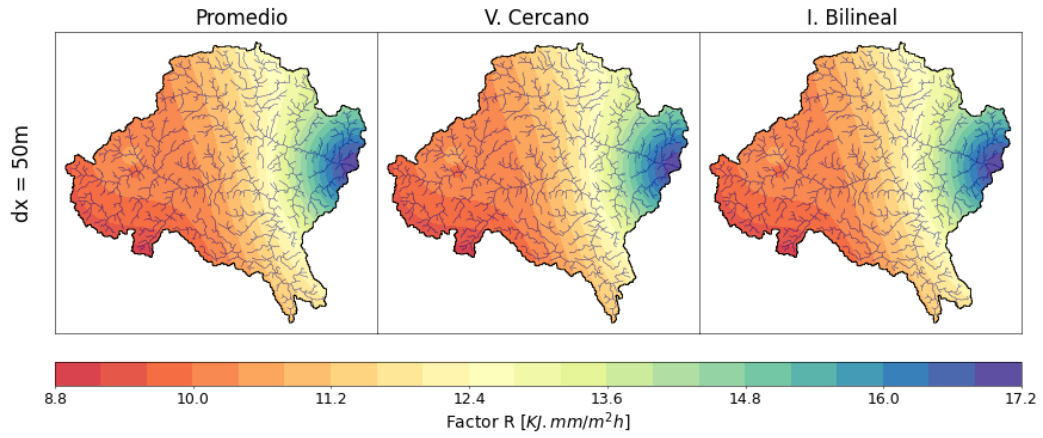


Figura A-22.: Cambios en el factor R para el MDE de 50m.

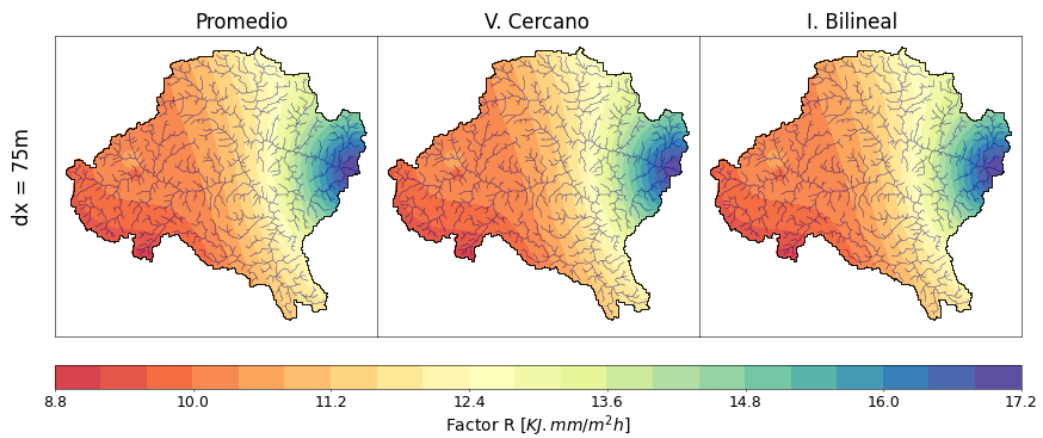


Figura A-23.: Cambios en el factor R para el MDE de 75m.

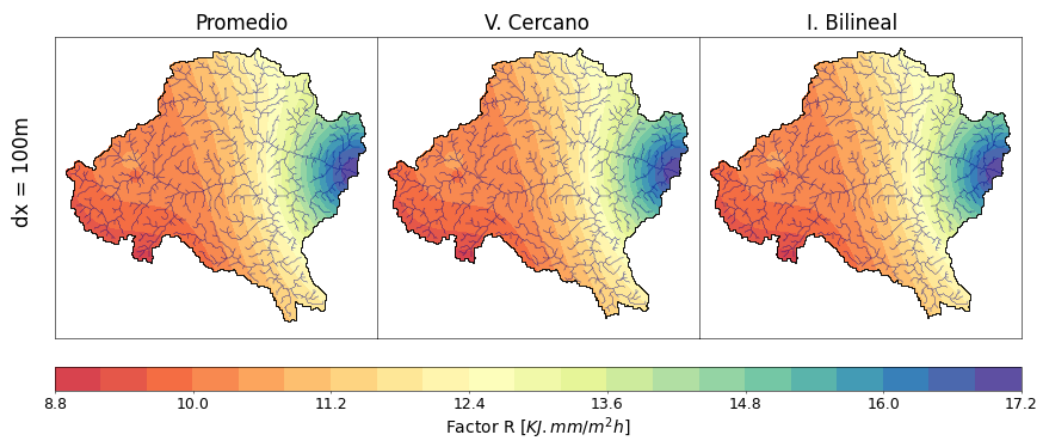


Figura A-24.: Cambios en el factor R para el MDE de 100m.

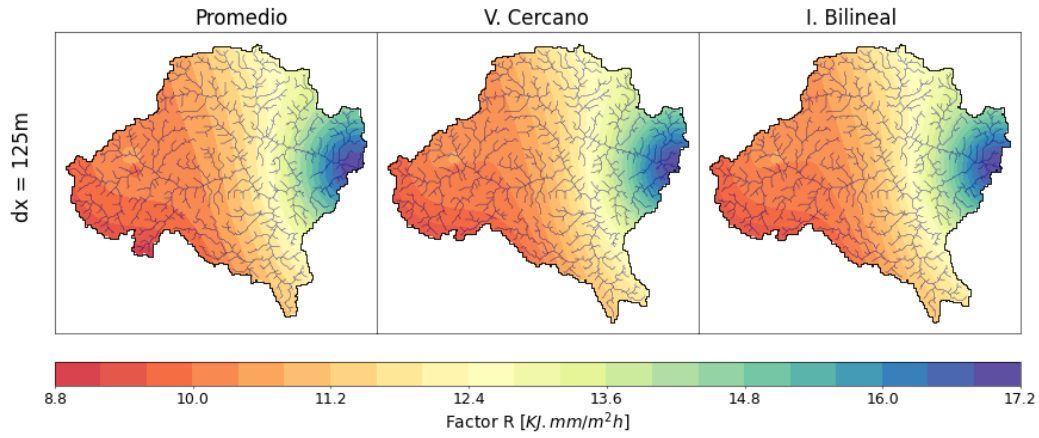


Figura A-25.: Cambios en el factor R para el MDE de 125m.

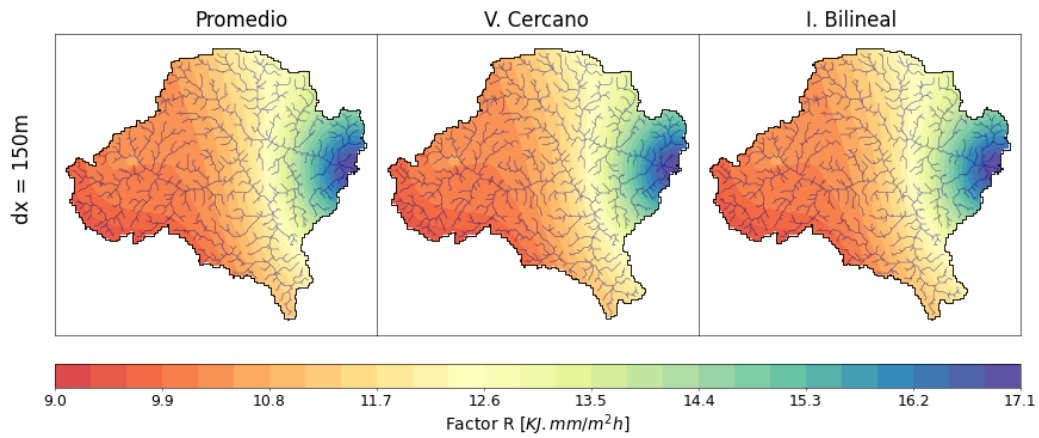


Figura A-26.: Cambios en el factor R para el MDE de 150m.

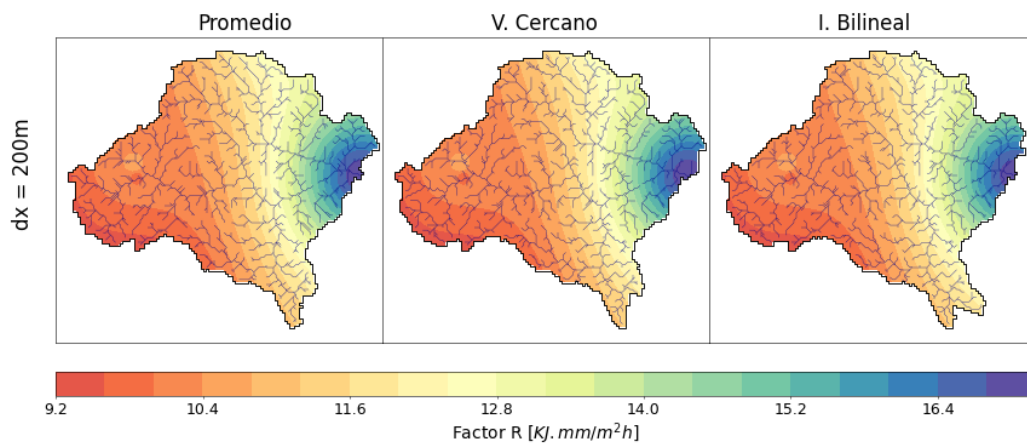


Figura A-27.: Cambios en el factor R para el MDE de 200m.

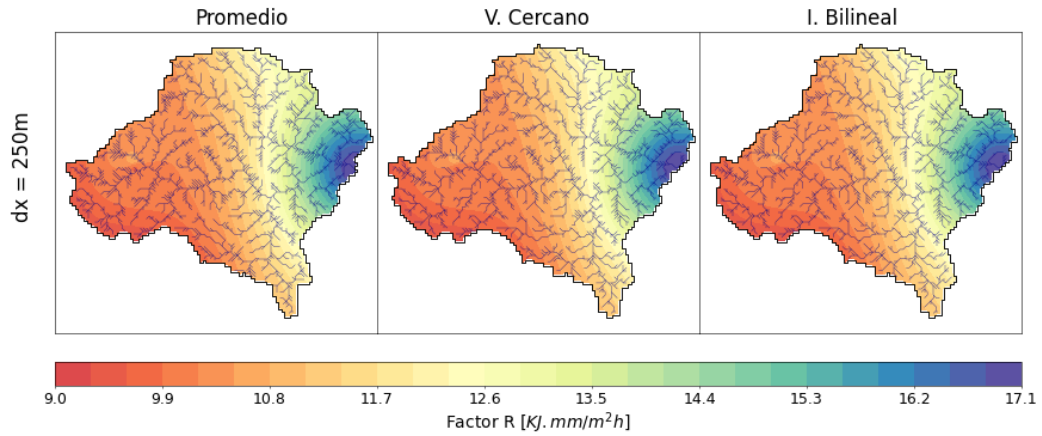


Figura A-28.: Cambios en el factor R para el MDE de 250m.

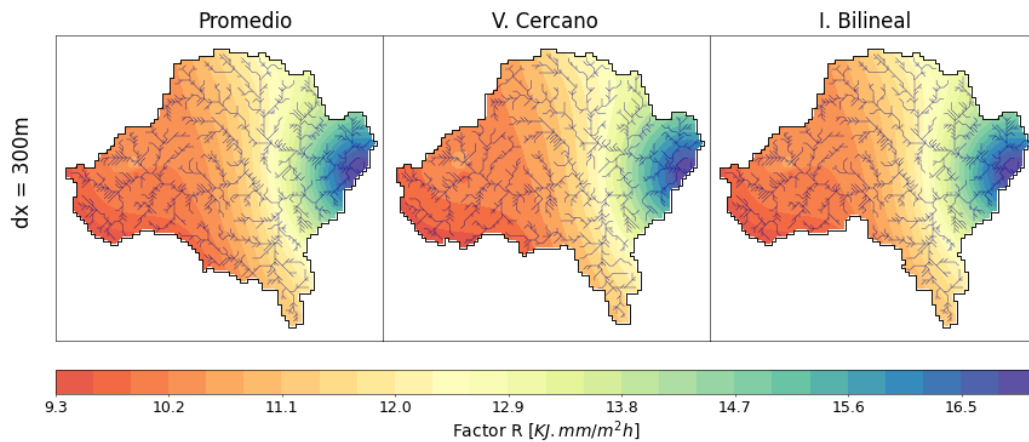


Figura A-29.: Cambios en el factor R para el MDE de 300m.

### A.3.2. Factor K

De la Figura A-30 a la A-39 se presenta la variación espacial del factor K para las diferentes escalas.

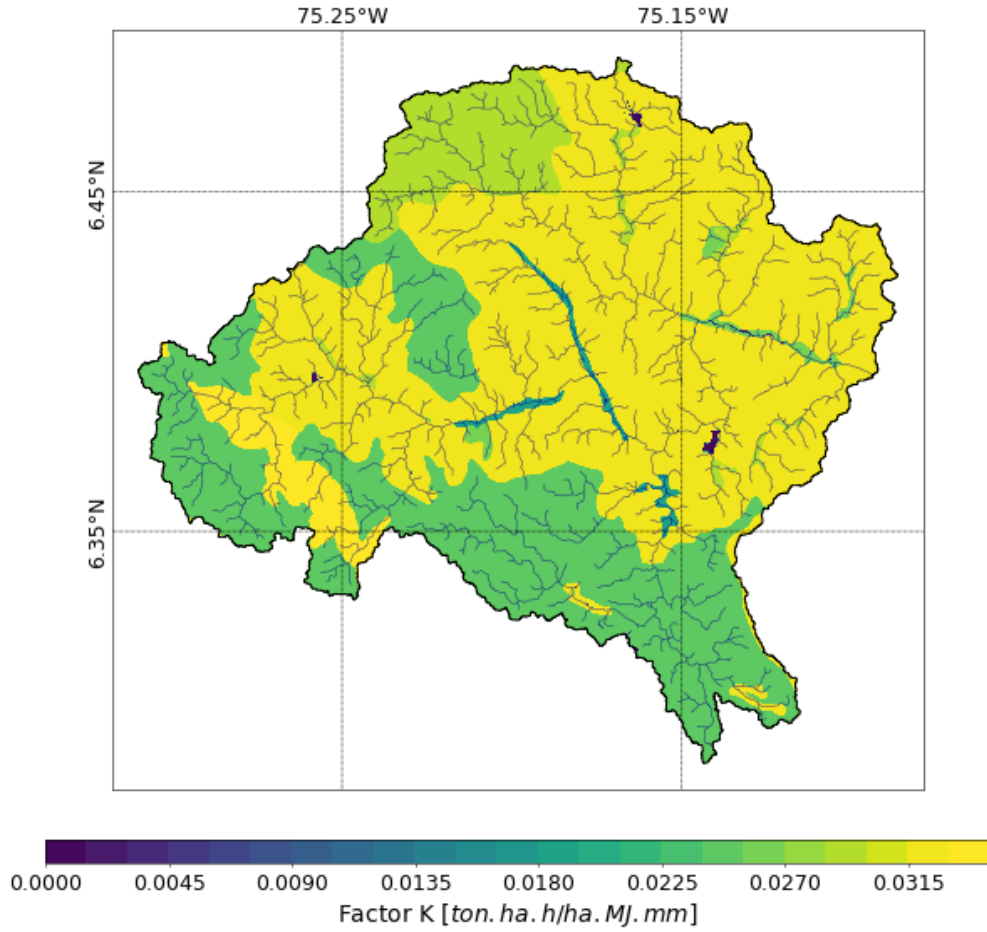


Figura A-30.: Cambios en el factor K para el MDE de referencia 12.5m.

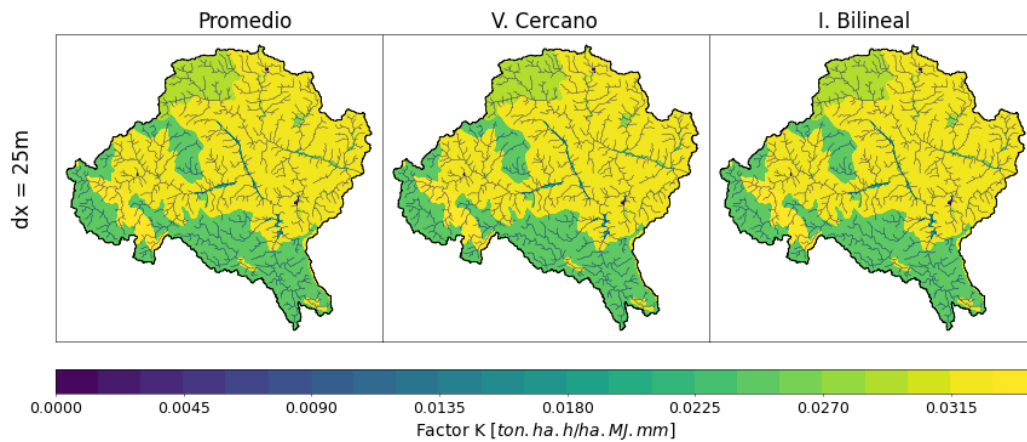


Figura A-31.: Cambios en el factor K para el MDE de 25m.

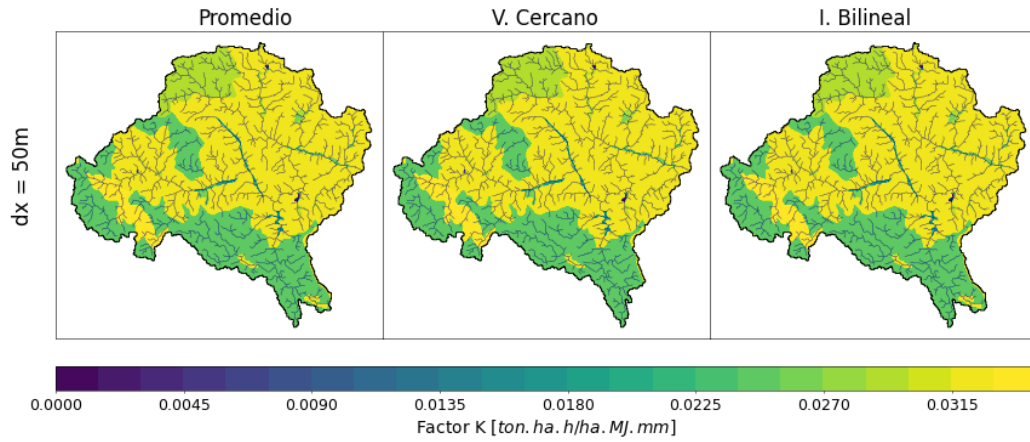


Figura A-32.: Cambios en el factor K para el MDE de 50m.

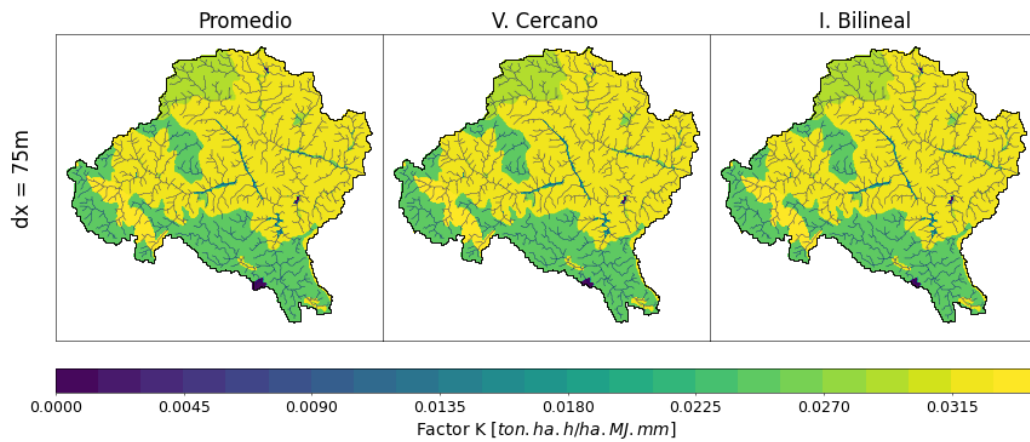


Figura A-33.: Cambios en el factor K para el MDE de 75m.

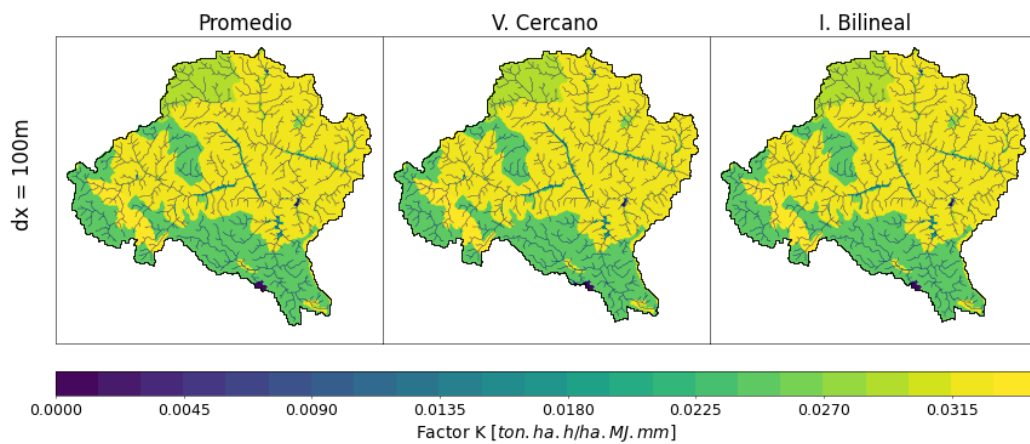


Figura A-34.: Cambios en el factor K para el MDE de 100m.

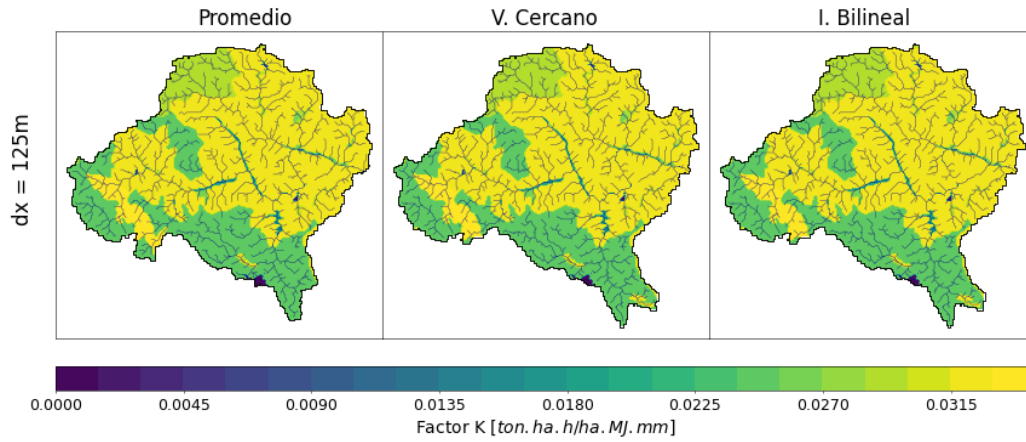


Figura A-35.: Cambios en el factor K para el MDE de 125m.

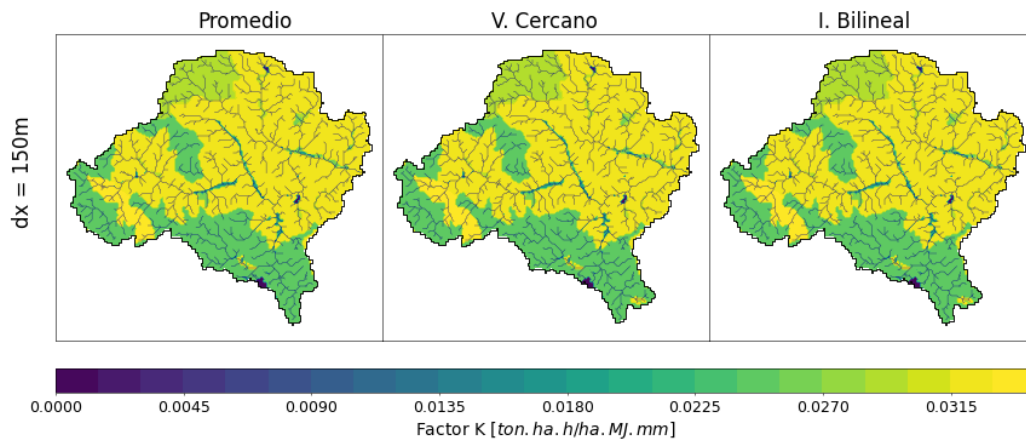


Figura A-36.: Cambios en el factor K para el MDE de 150m.

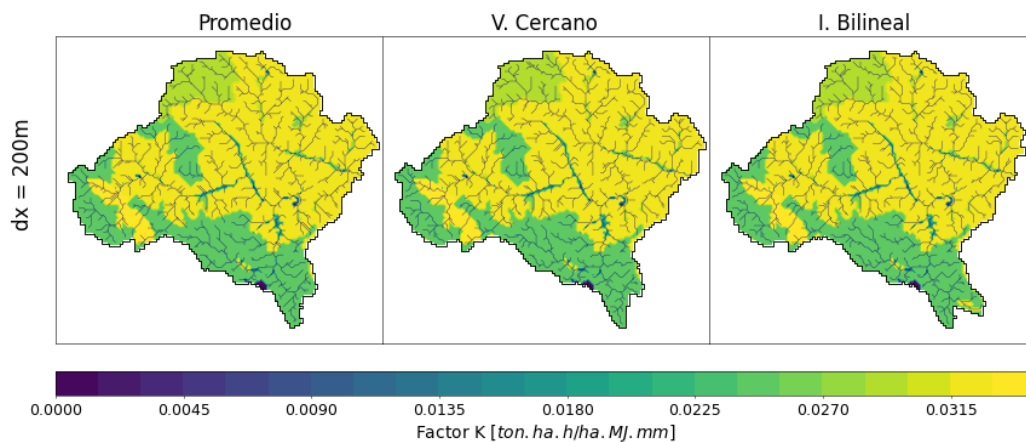


Figura A-37.: Cambios en el factor K para el MDE de 200m.

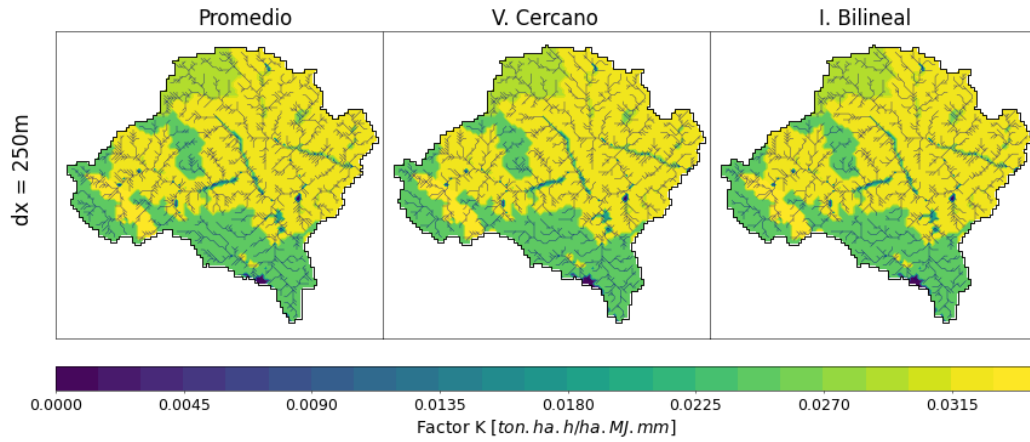


Figura A-38.: Cambios en el factor K para el MDE de 250m.

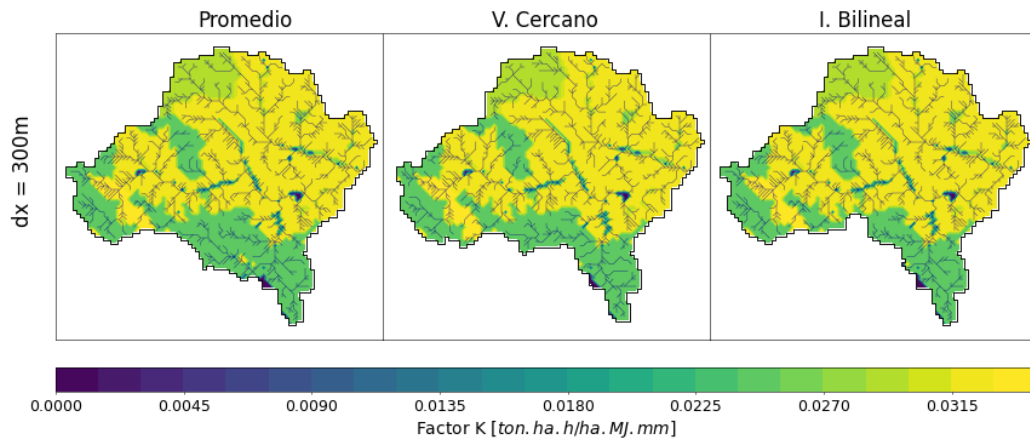


Figura A-39.: Cambios en el factor K para el MDE de 300m.

### A.3.3. Factor C

De la Figura A-40 a la A-49 se presenta la variación espacial del factor C para las diferentes escalas.

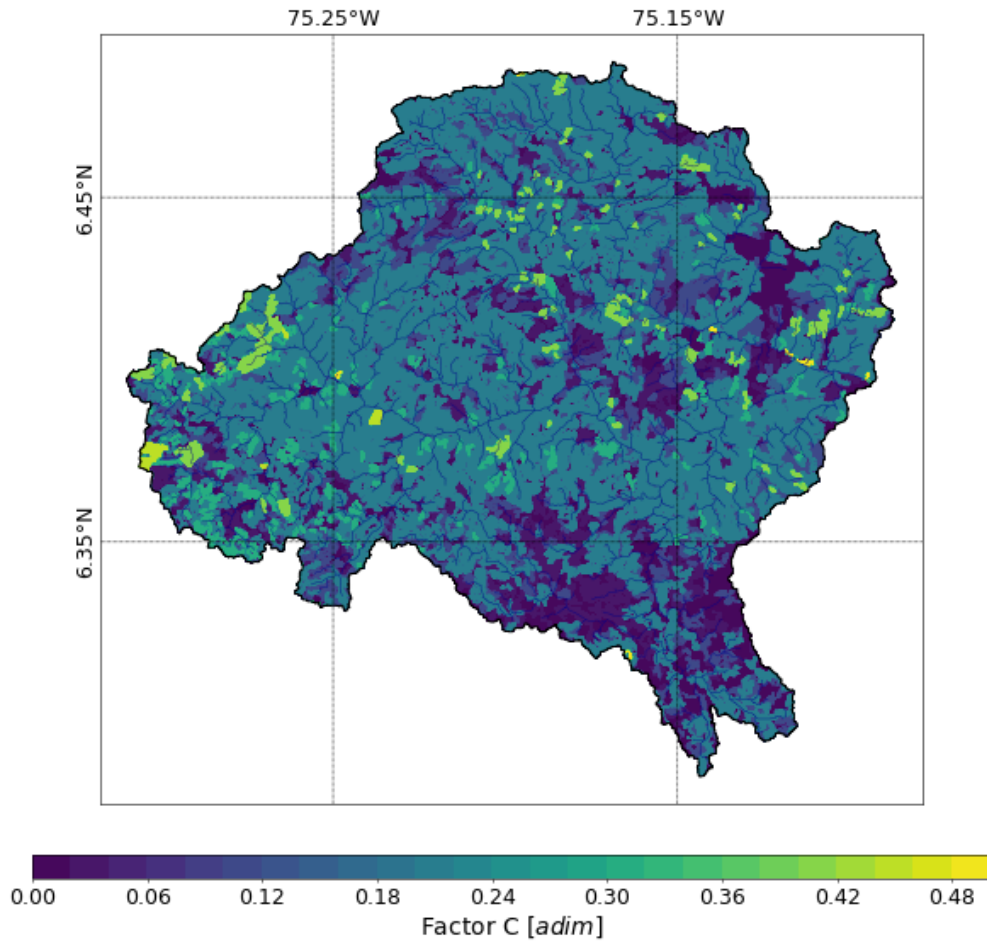


Figura A-40.: Cambios en el factor C para el MDE de referencia 12.5m.

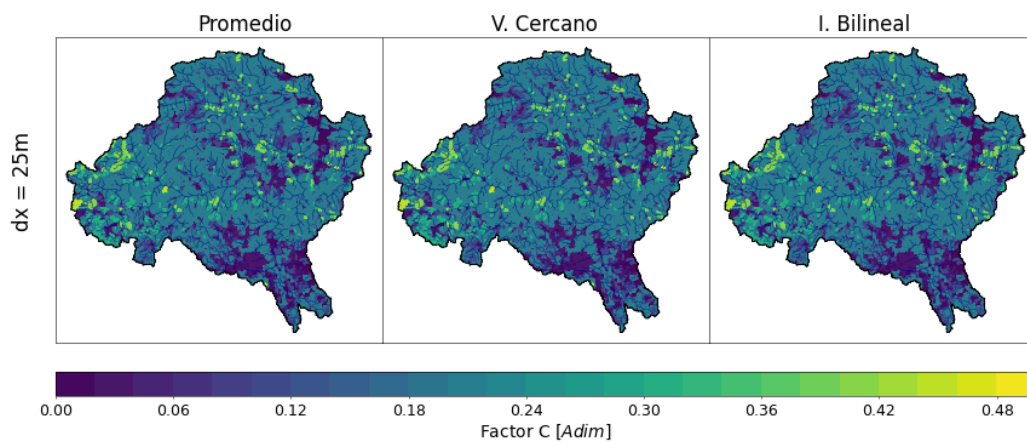


Figura A-41.: Cambios en el factor C para el MDE de 25m.

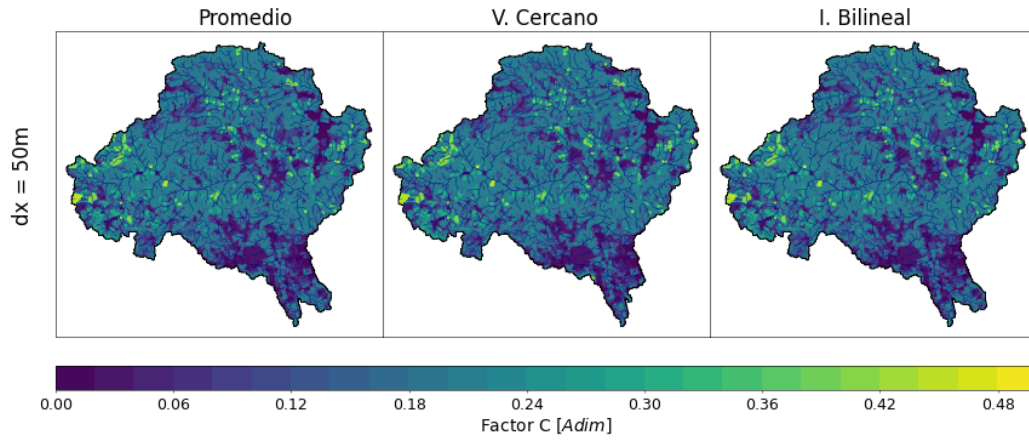


Figura A-42.: Cambios en el factor C para el MDE de 50m.

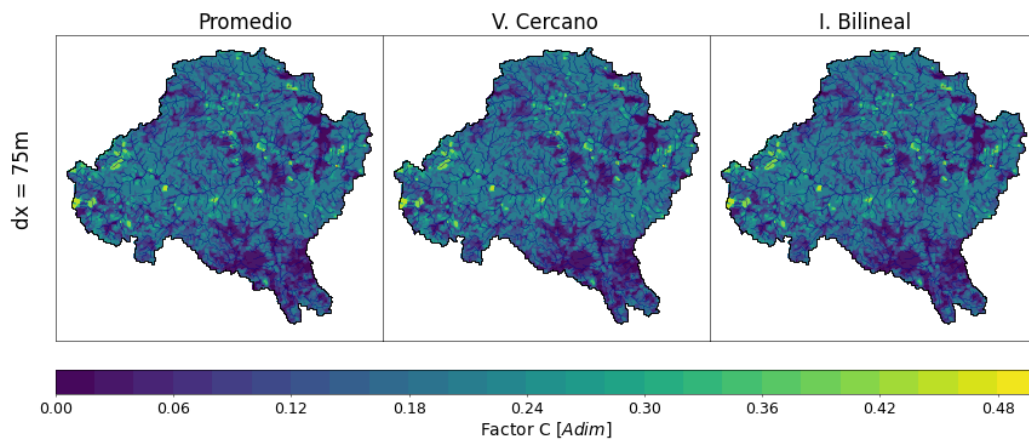


Figura A-43.: Cambios en el factor C para el MDE de 75m.

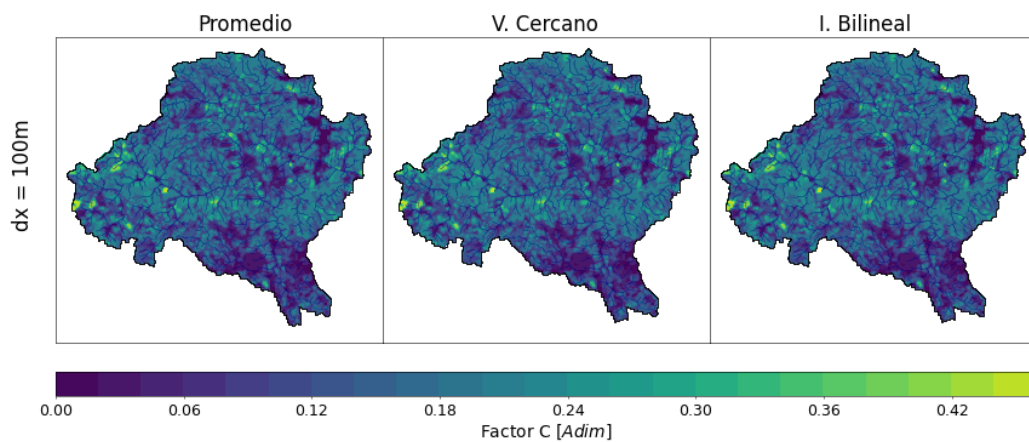


Figura A-44.: Cambios en el factor C para el MDE de 100m.

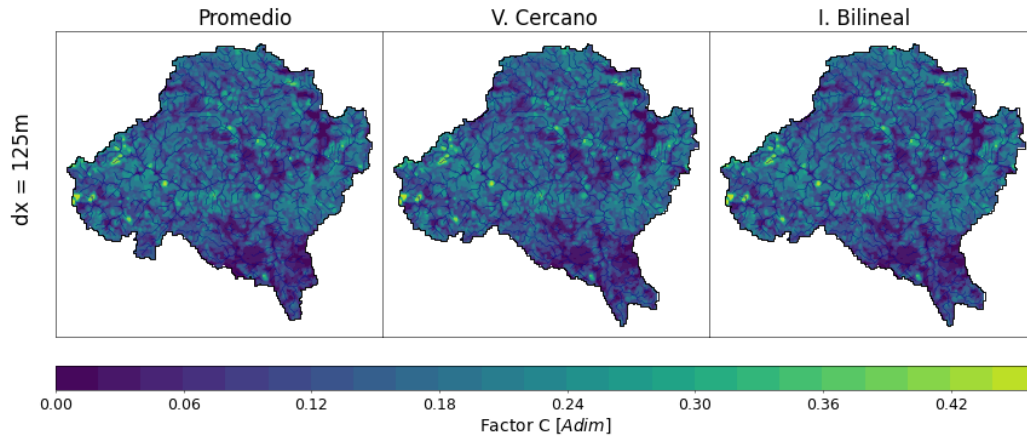


Figura A-45.: Cambios en el factor C para el MDE de 125m.

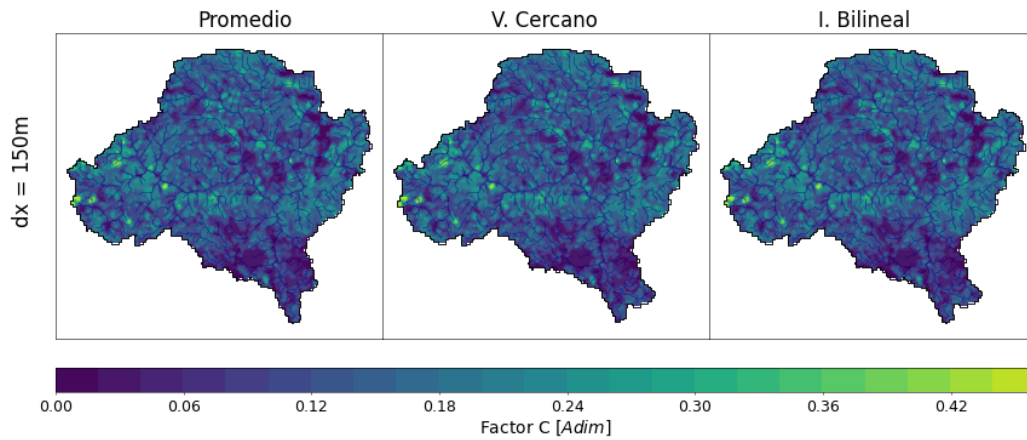


Figura A-46.: Cambios en el factor C para el MDE de 150m.

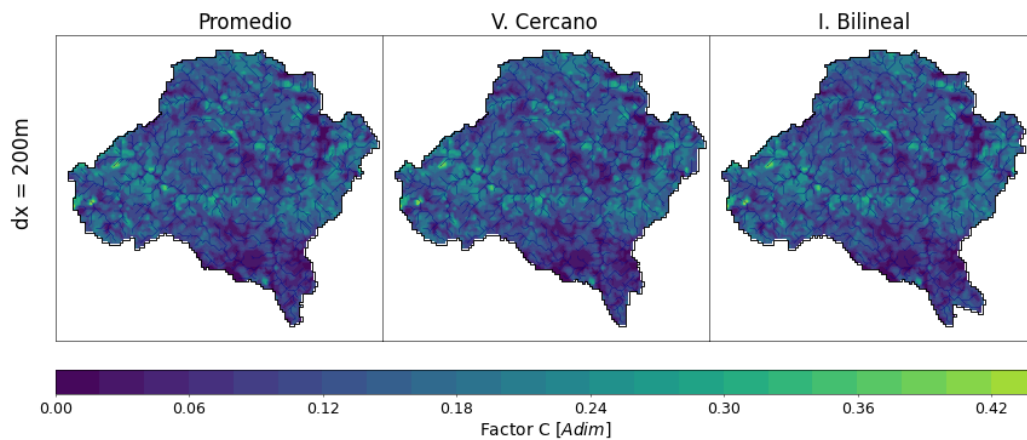


Figura A-47.: Cambios en el factor C para el MDE de 200m.

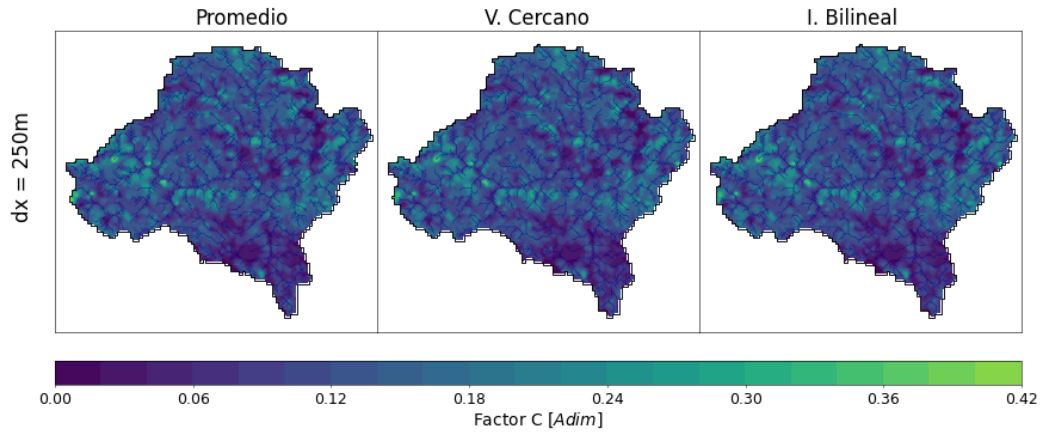


Figura A-48.: Cambios en el factor C para el MDE de 250m.

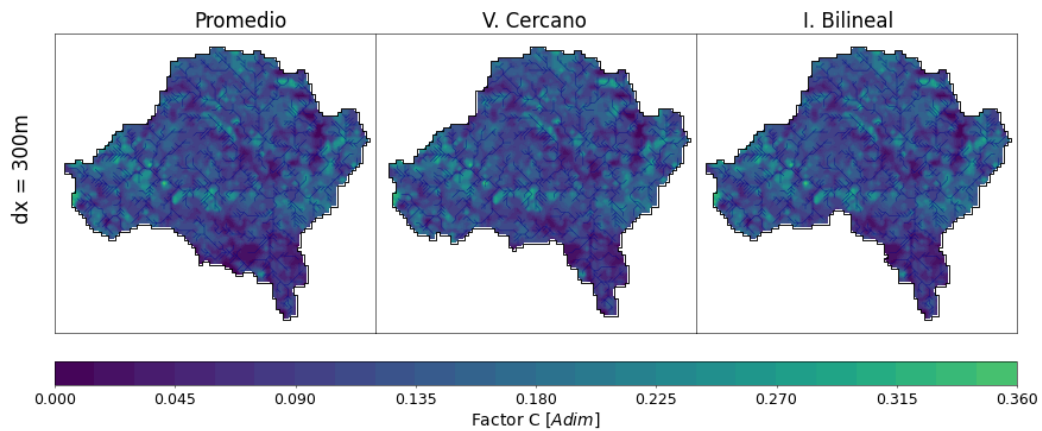


Figura A-49.: Cambios en el factor C para el MDE de 300m.

#### A.3.4. Factor LS

De la Figura A-50 a la A-59 se presenta la variación espacial del factor LS para las diferentes escalas.

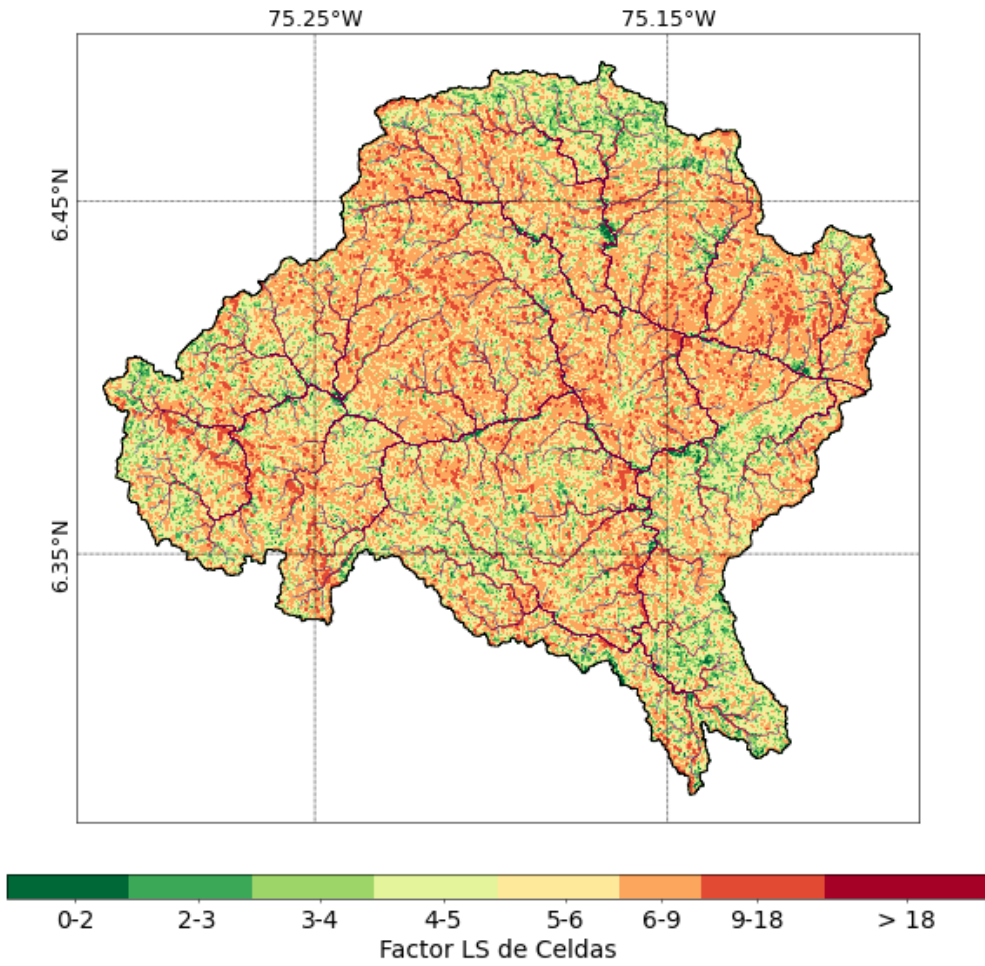


Figura A-50.: Cambios en el factor LS para el MDE de referencia 12.5m.

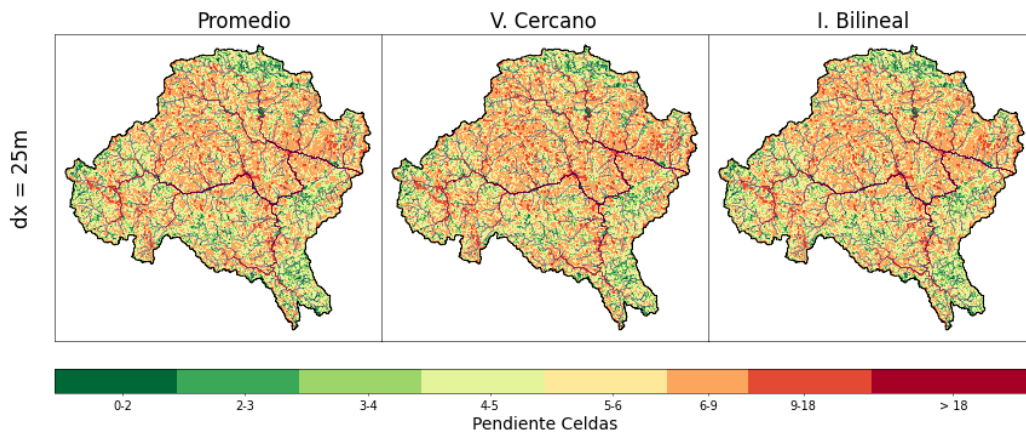


Figura A-51.: Cambios en el factor LS para el MDE de 25m.

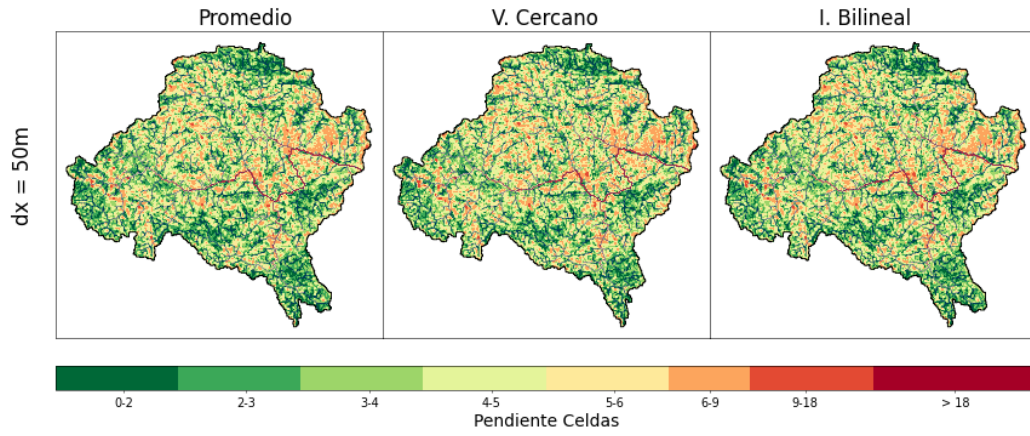


Figura A-52.: Cambios en el factor LS para el MDE de 50m.

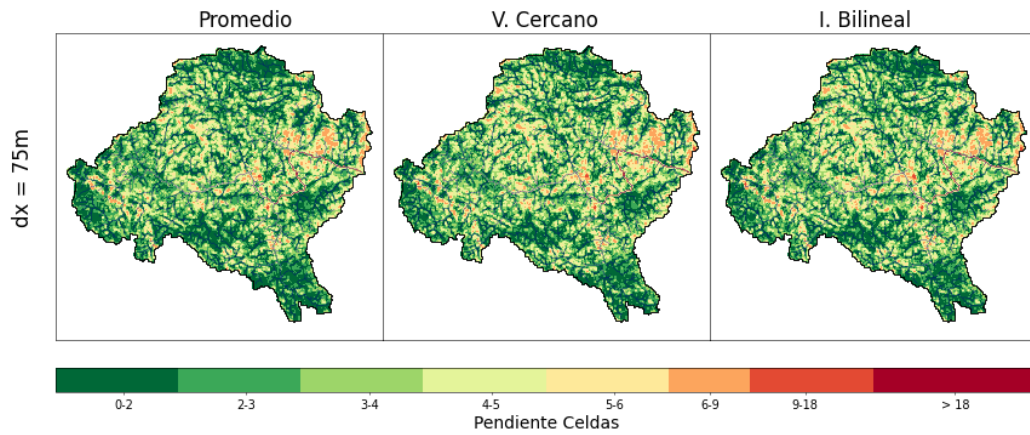


Figura A-53.: Cambios en el factor LS para el MDE de 75m.

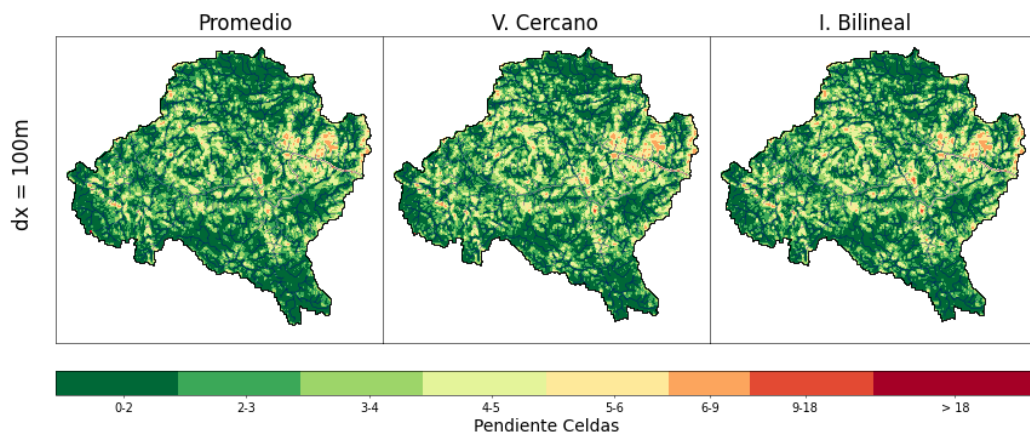


Figura A-54.: Cambios en el factor LS para el MDE de 100m.

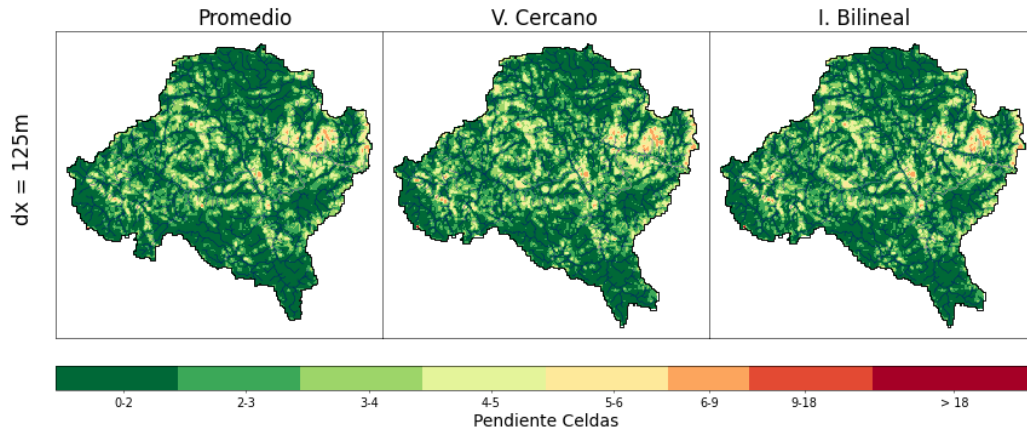


Figura A-55.: Cambios en el factor LS para el MDE de 125m.

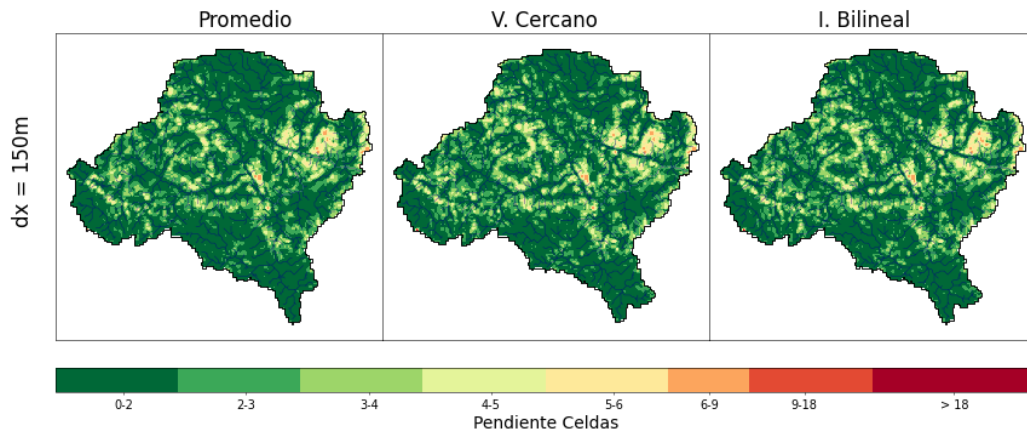


Figura A-56.: Cambios en el factor LS para el MDE de 150m.

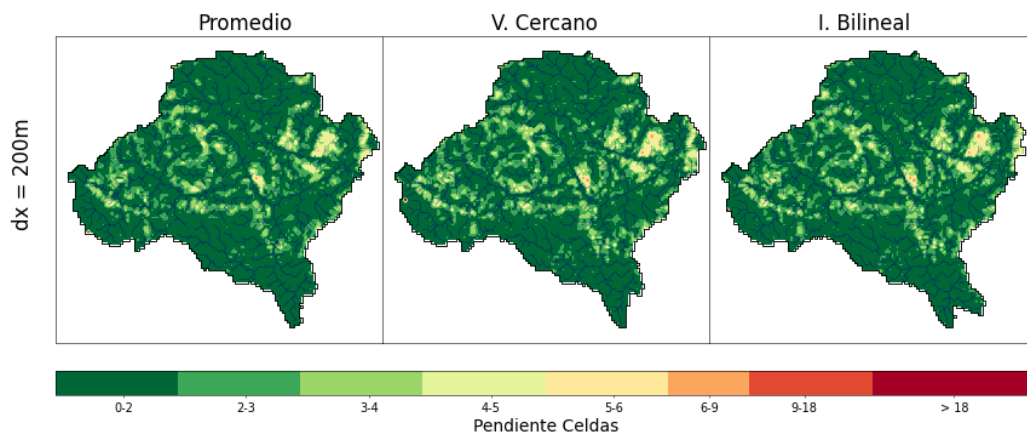


Figura A-57.: Cambios en el factor LS para el MDE de 200m.

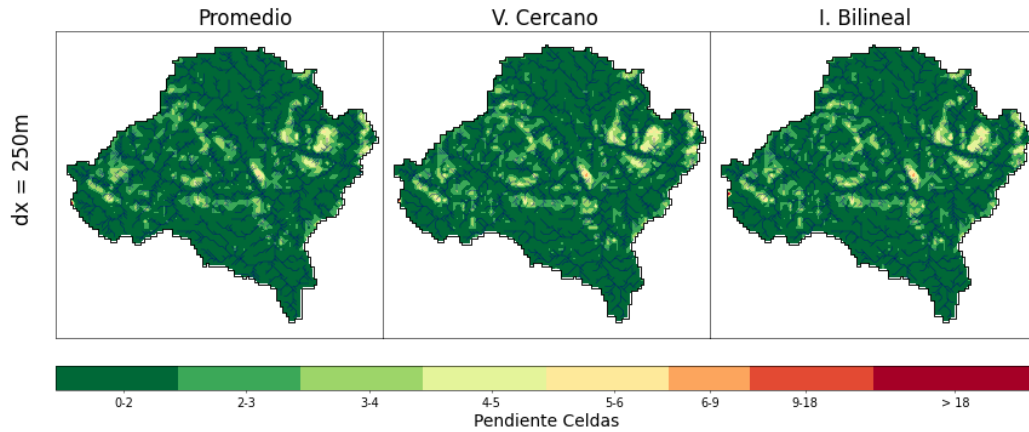


Figura A-58.: Cambios en el factor LS para el MDE de 250m.

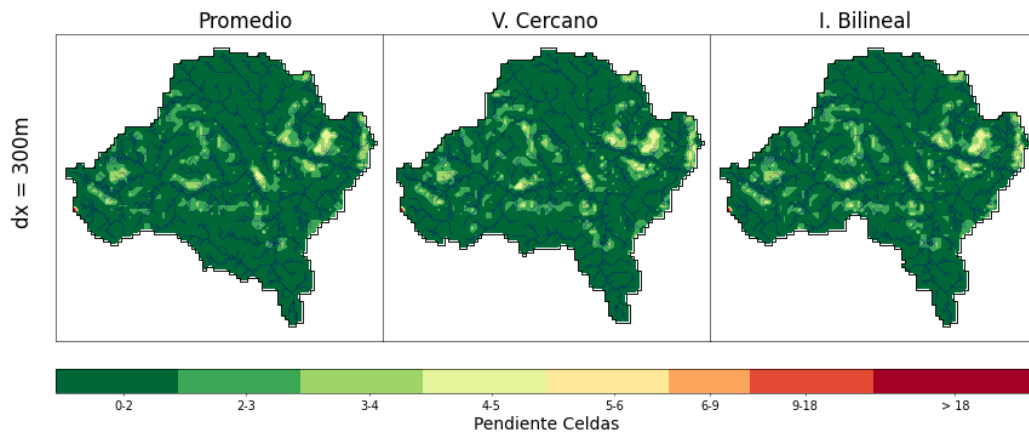


Figura A-59.: Cambios en el factor LS para el MDE de 300m.

## A.4. Resultados RUSLE

En esta sección se presentan los cambios en el cálculo de la RUSLE para la cuenca del río Nare, delimitada hasta la estación El Viento, usando tres técnicas de remuestreo presentadas en el capítulo ???. De la Figura A-60 a la A-69 se presenta la variación en el cálculo de la RUSLE para las diferentes escalas.

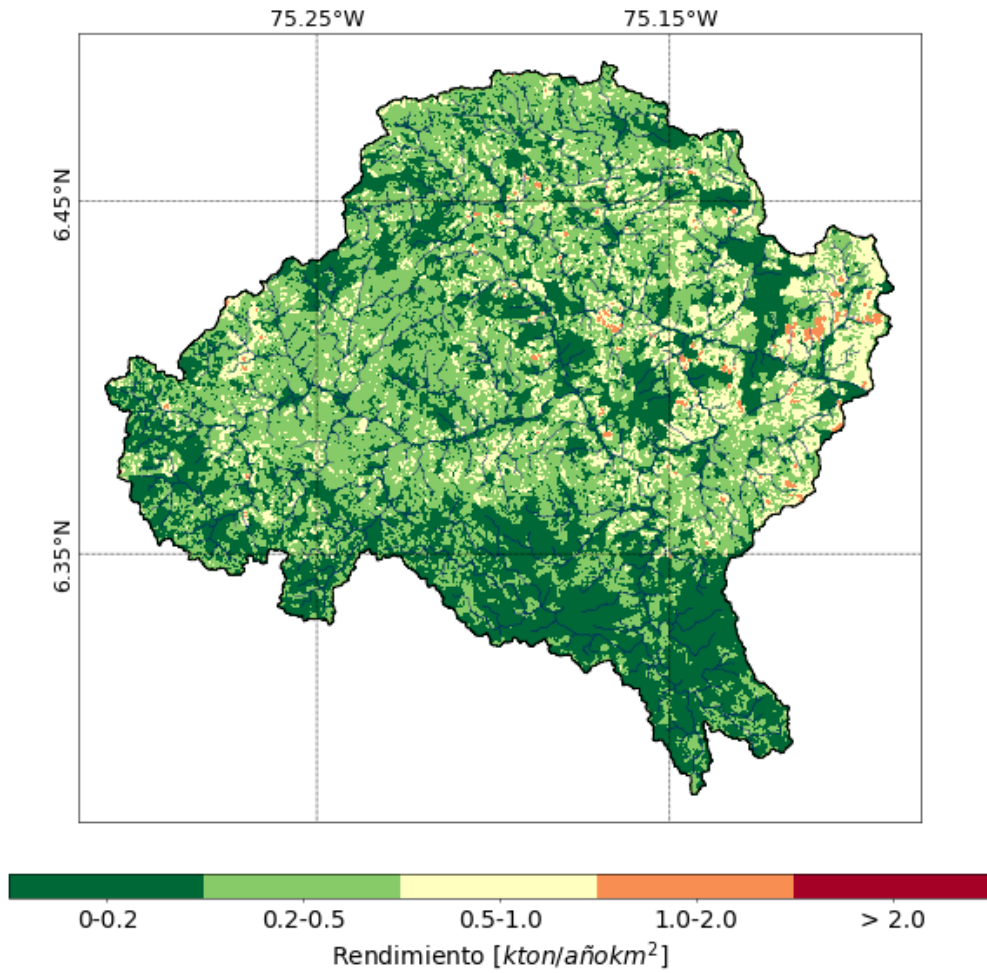


Figura A-60.: Cambios en el cálculo de la RUSLE para el MDE de referencia 12.5m.

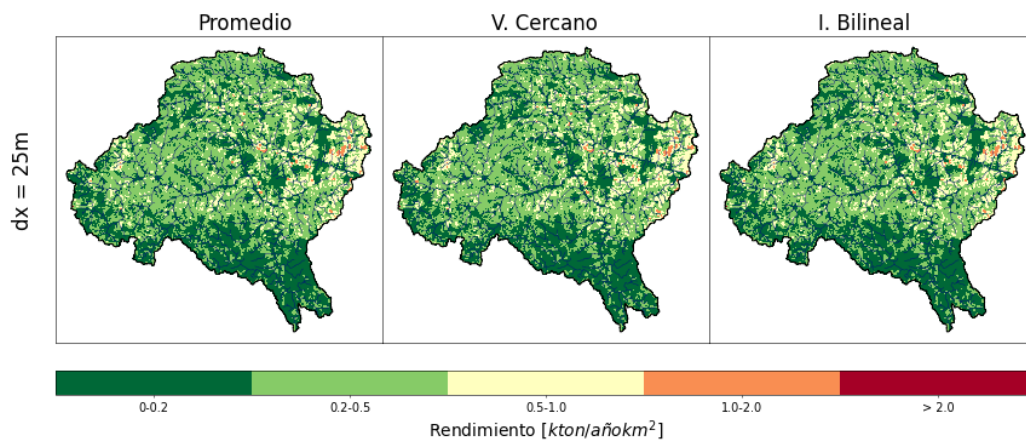


Figura A-61.: Cambios en el cálculo de la RUSLE para el MDE de 25m.

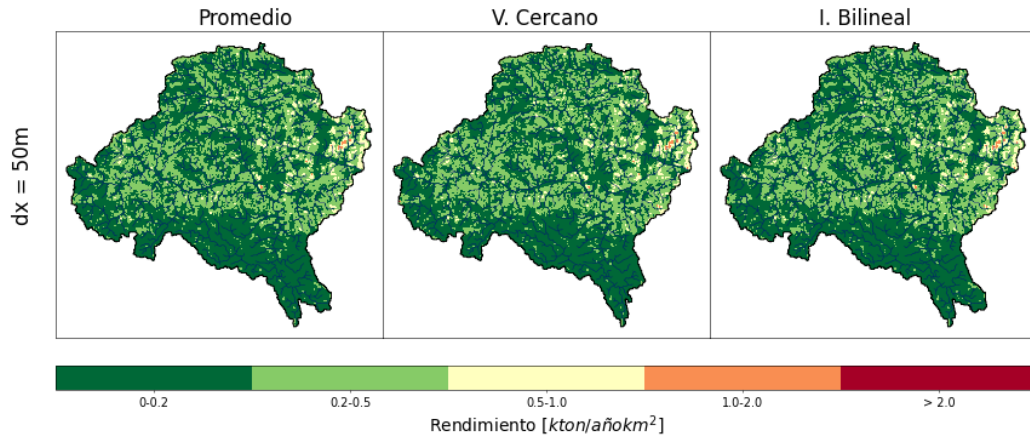


Figura A-62.: Cambios en el cálculo de la RUSLE para el MDE de 50m.

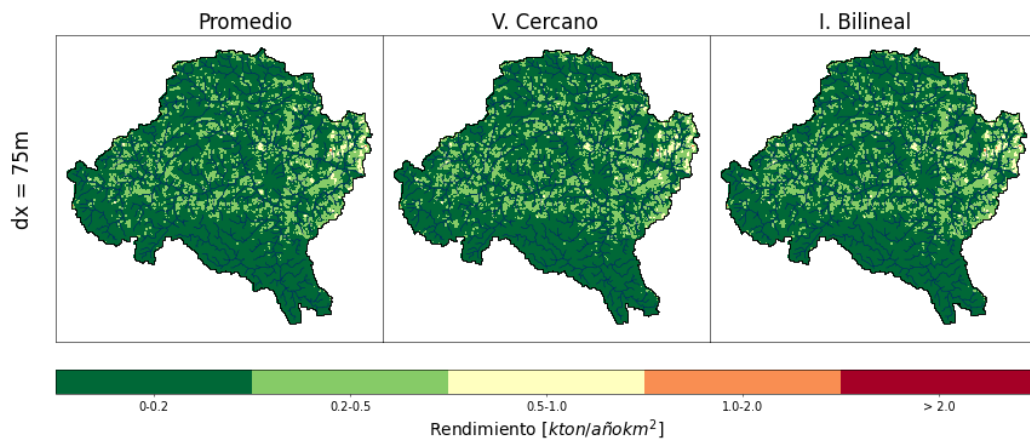


Figura A-63.: Cambios en el cálculo de la RUSLE para el MDE de 75m.

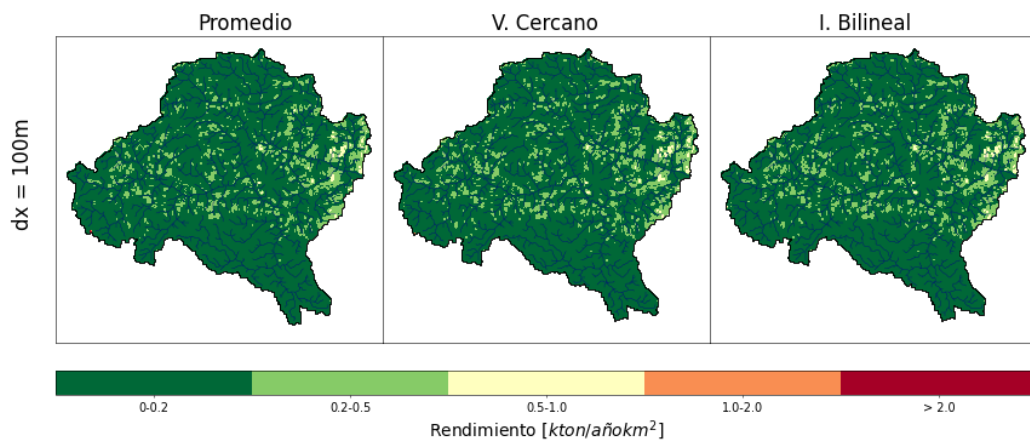


Figura A-64.: Cambios en el cálculo de la RUSLE para el MDE de 100m.

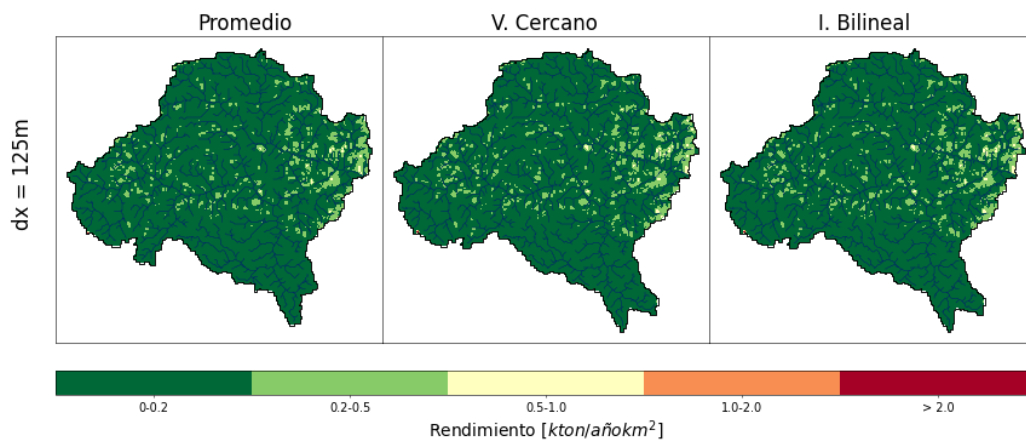


Figura A-65.: Cambios en el cálculo de la RUSLE para el MDE de 125m.

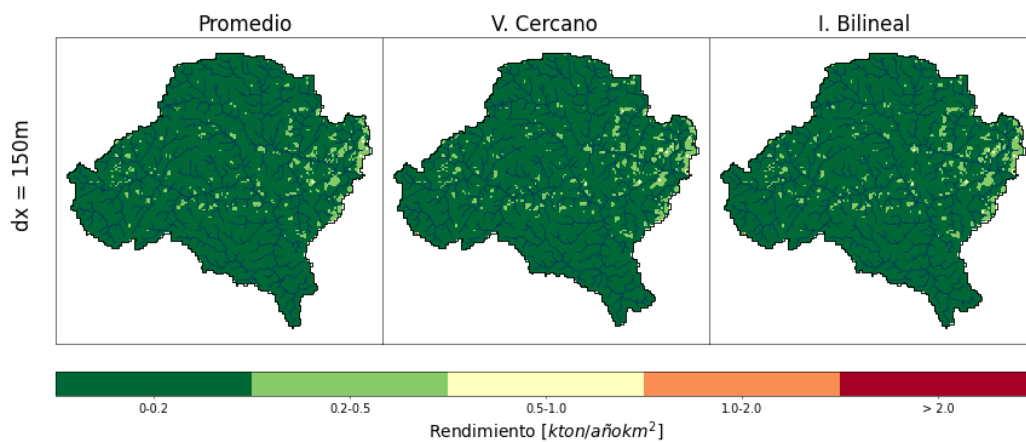


Figura A-66.: Cambios en el cálculo de la RUSLE para el MDE de 150m.

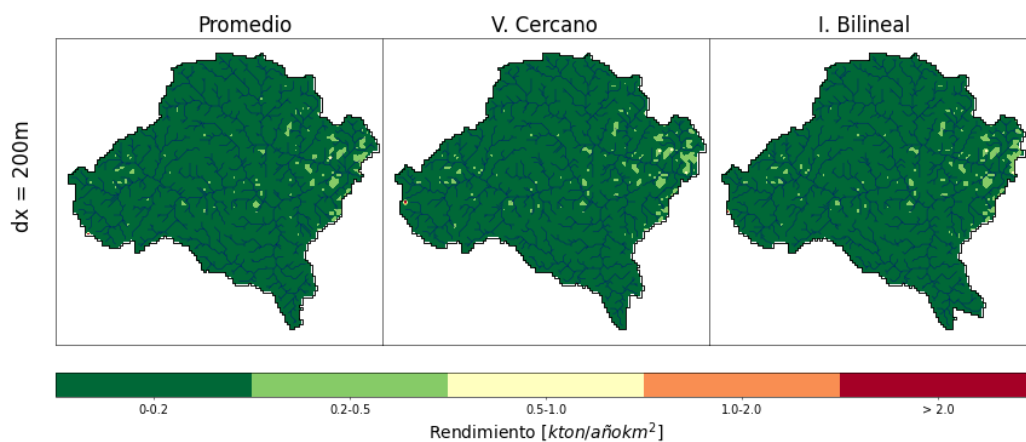


Figura A-67.: Cambios en el cálculo de la RUSLE para el MDE de 200m.

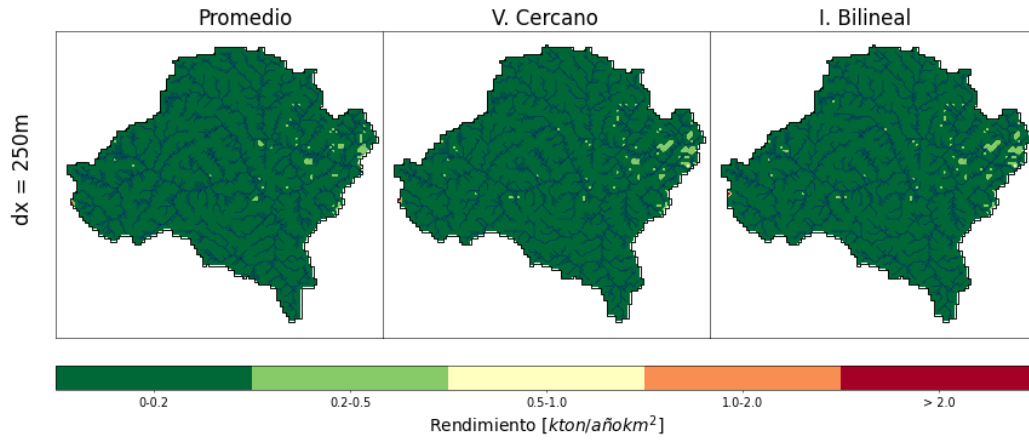


Figura A-68.: Cambios en el cálculo de la RUSLE para el MDE de 250m.

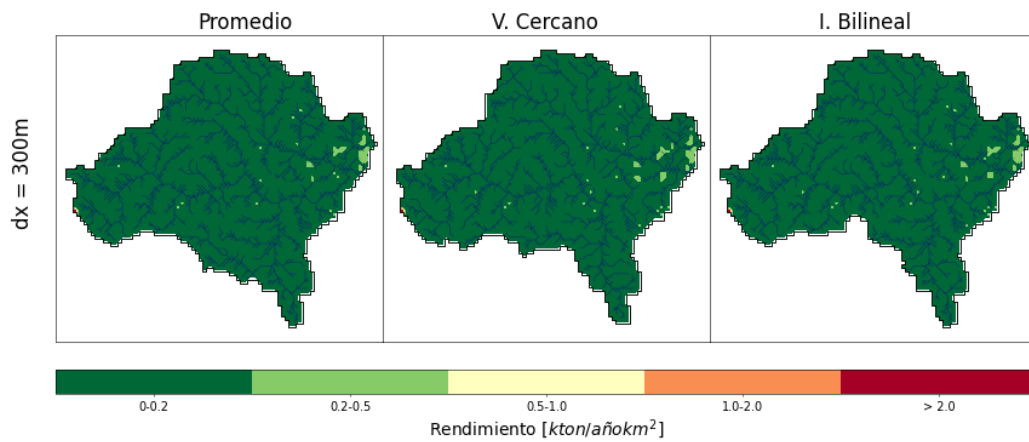


Figura A-69.: Cambios en el cálculo de la RUSLE para el MDE de 300m.

## B. Anexo: Resultados del capítulo ??, para todas las escalas

A continuación se presentan los resultados hidrológicos obtenidos al realizar la simulación.

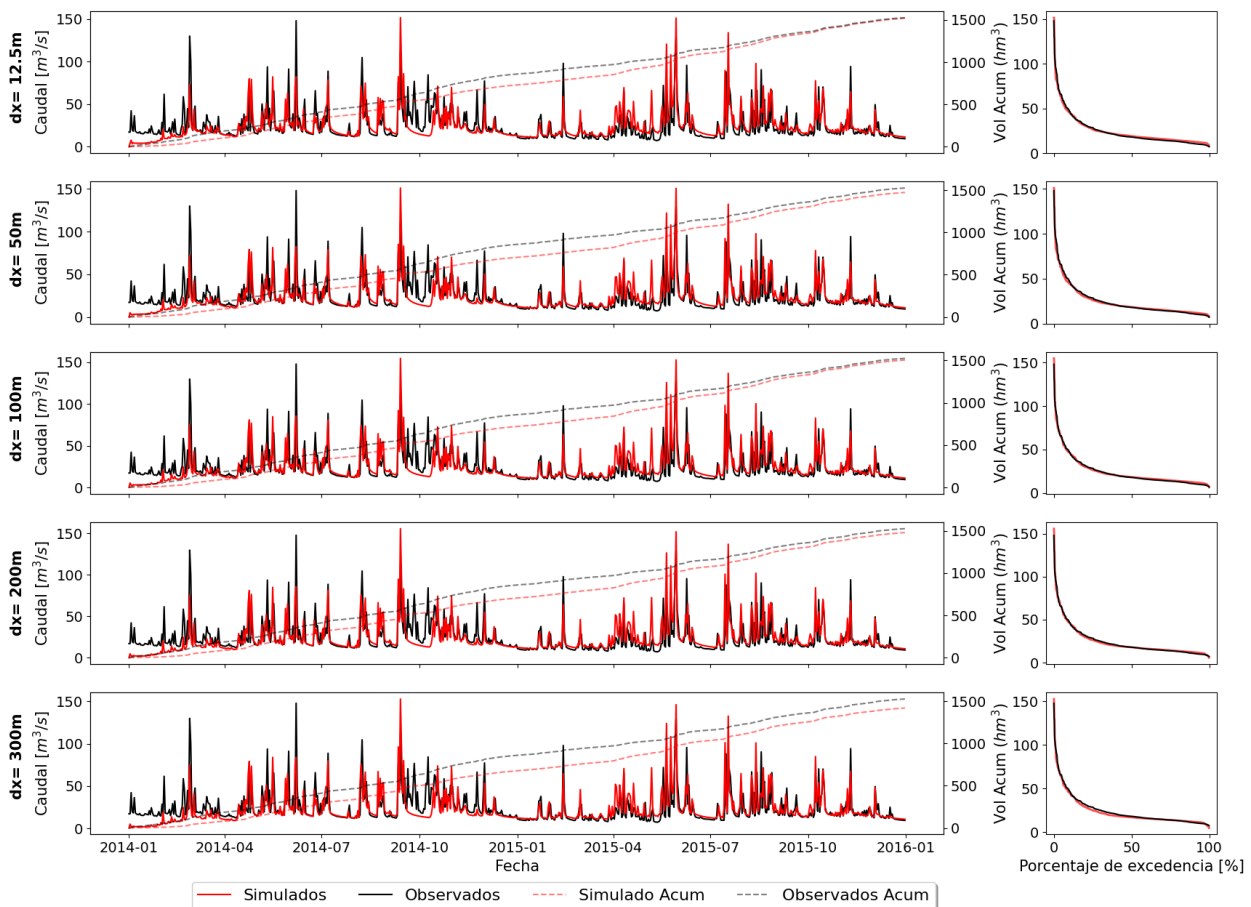


Figura B-1.: Series observadas y simuladas de caudal para el periodo simulado en escala temporal diaria.

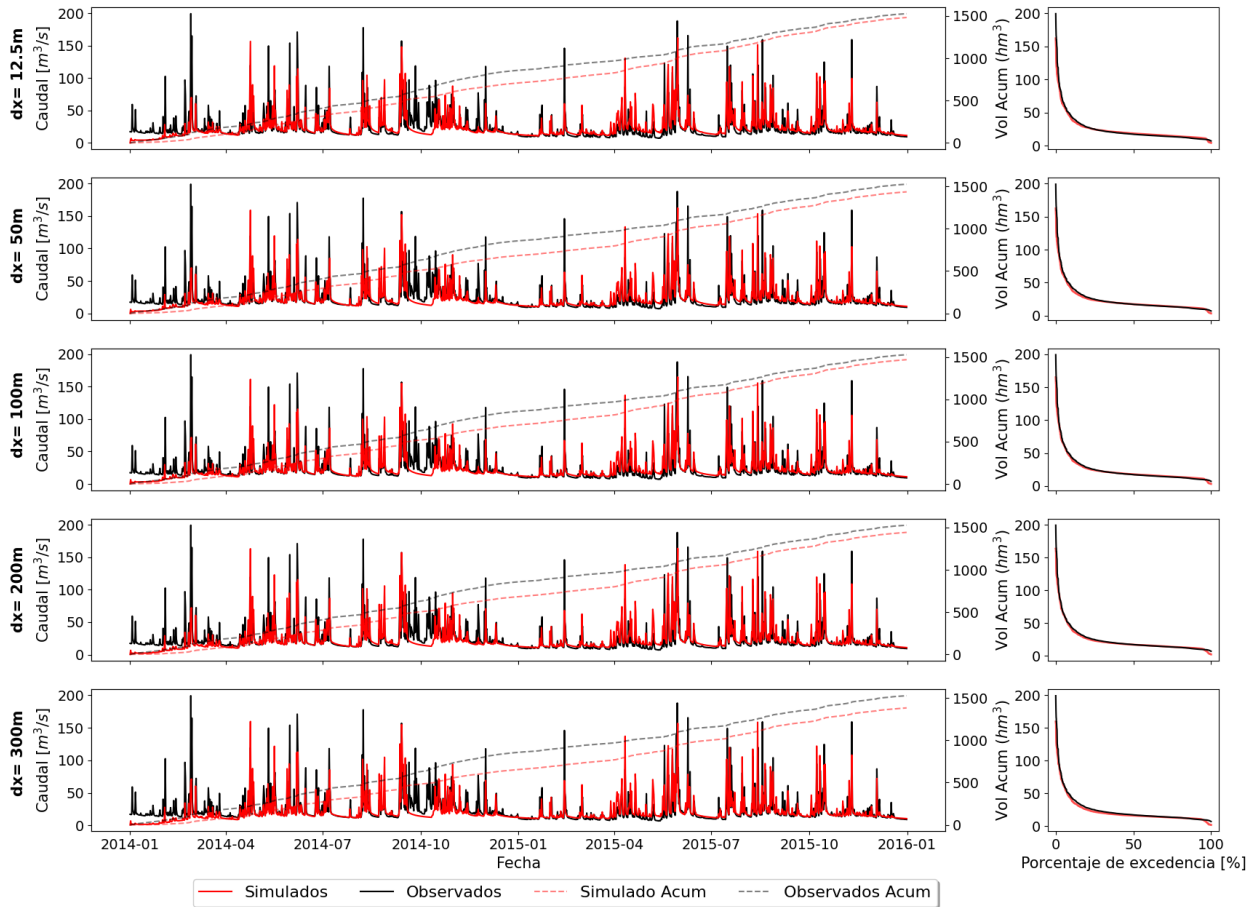


Figura B-2.: Series observadas y simuladas de caudal para el periodo simulado en escala temporal de 12 horas.

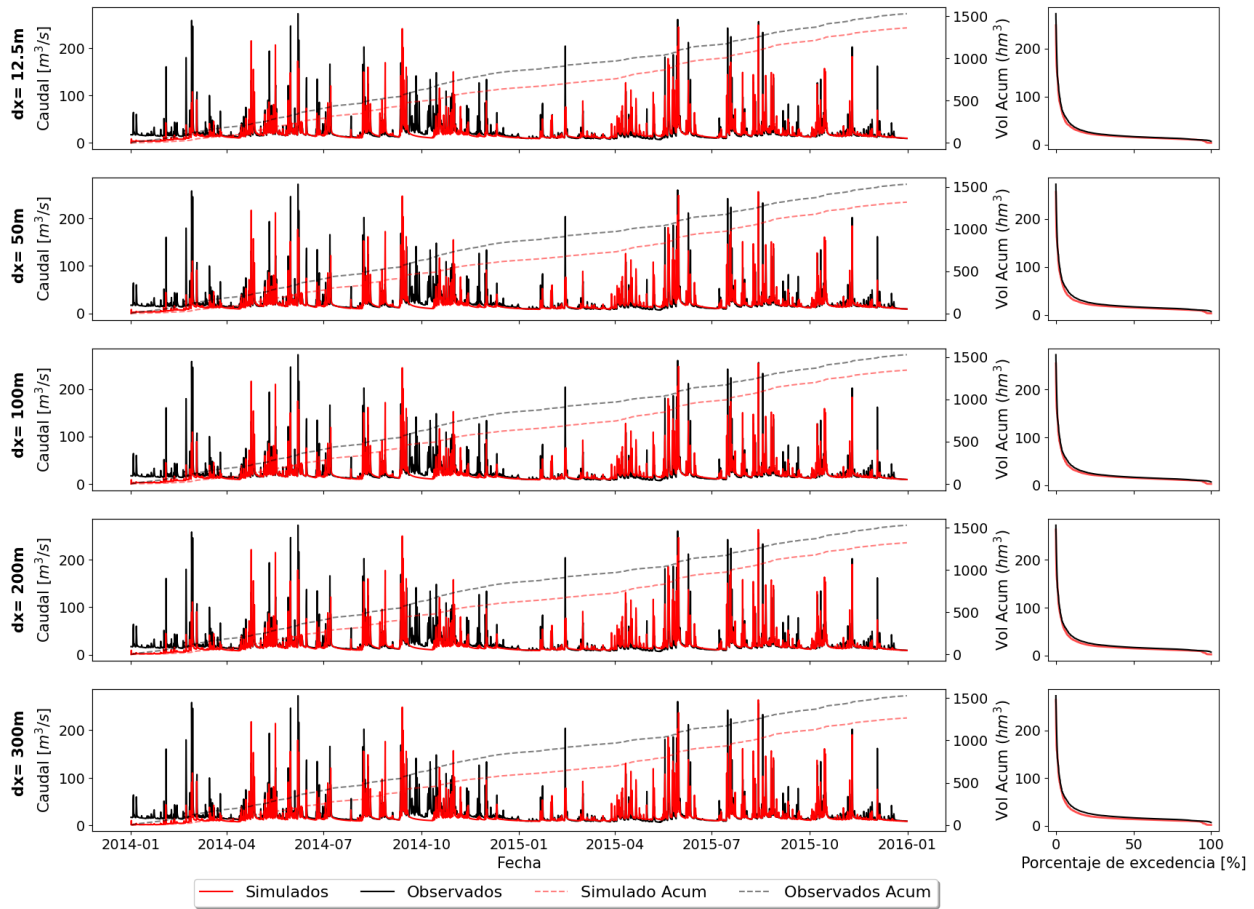


Figura B-3.: Series observadas y simuladas de caudal para el periodo simulado en escala temporal de 6 horas.

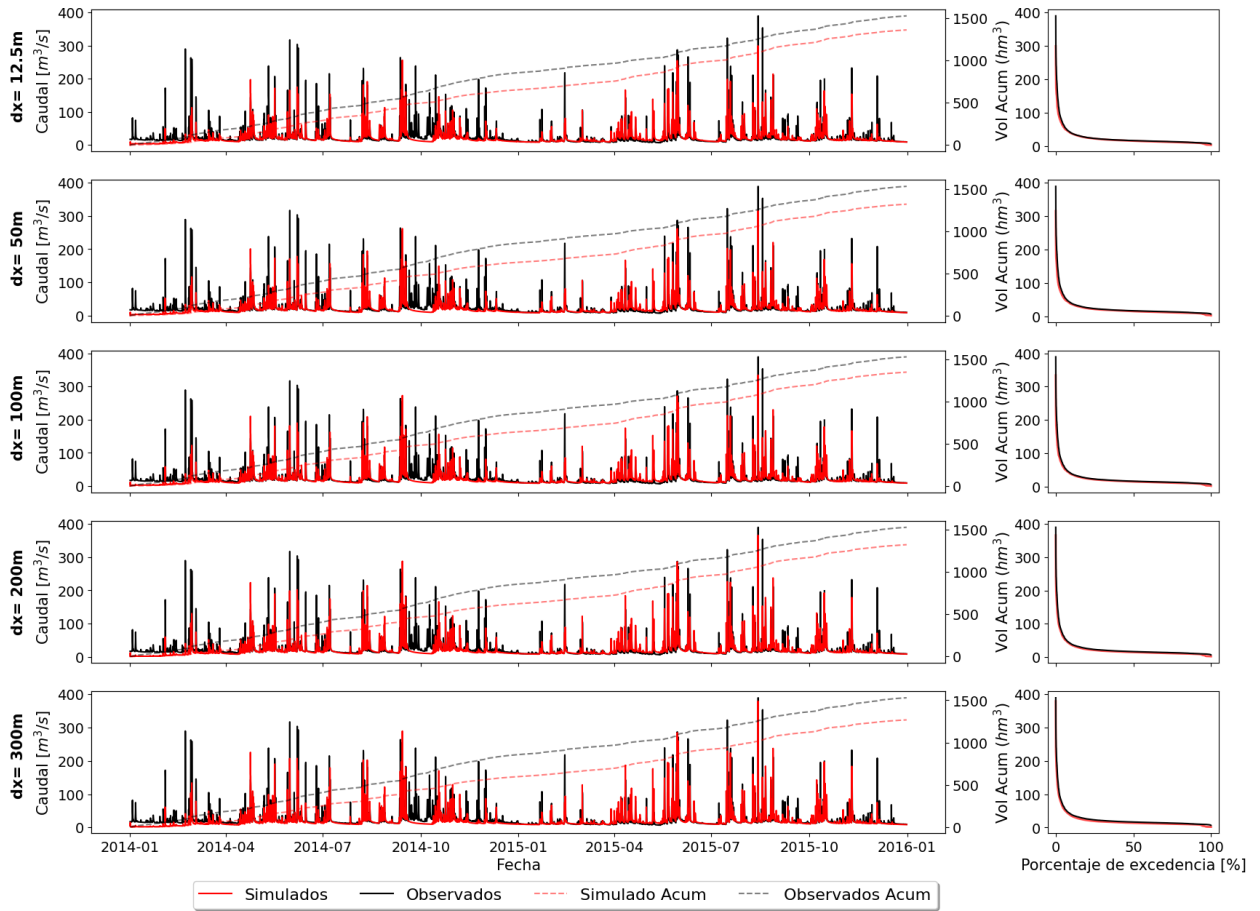


Figura B-4.: Series observadas y simuladas de caudal para el periodo simulado en escala temporal de 3 horas.

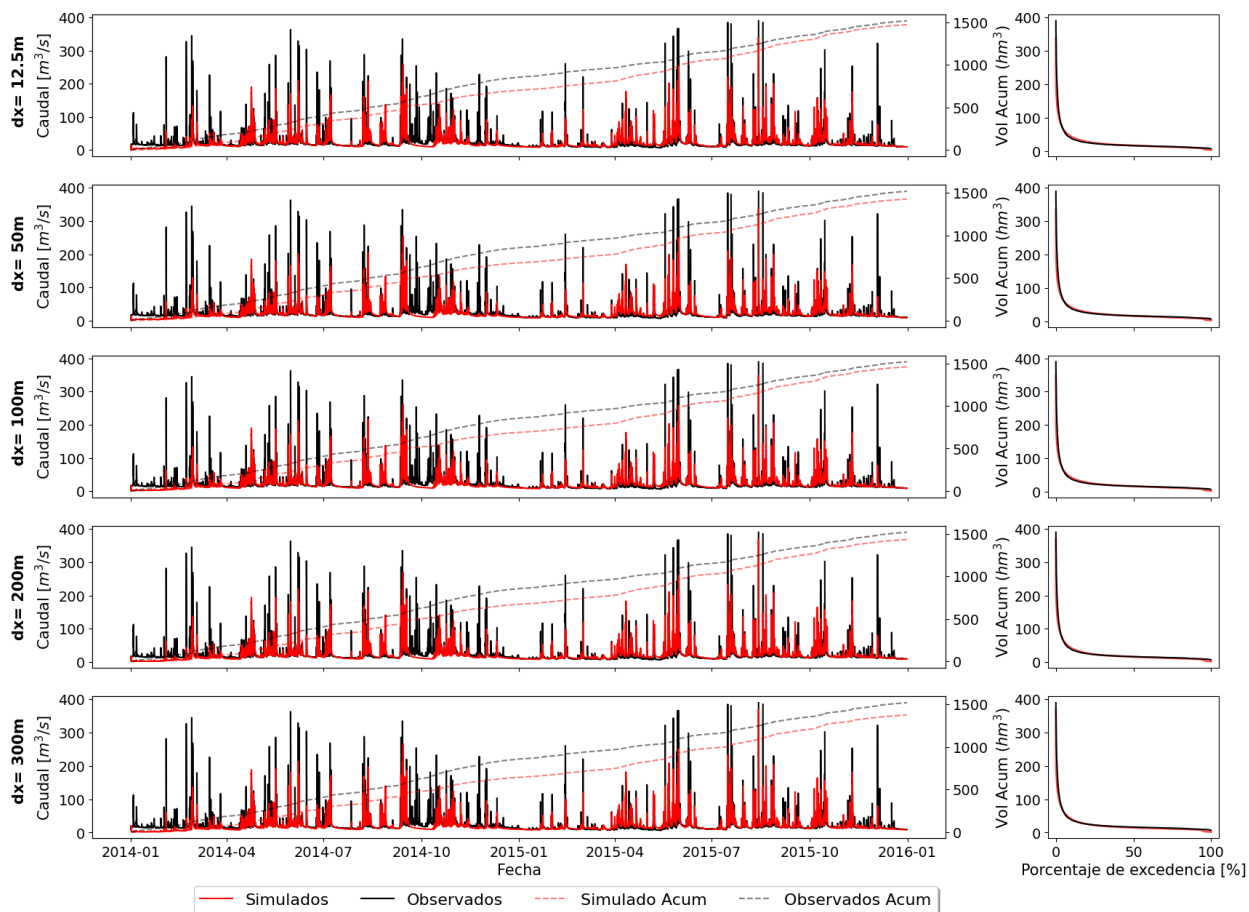


Figura B-5.: Series observadas y simuladas de caudal para el periodo simulado en escala temporal de 1 hora.

## C. Anexo: Resultados del capítulo ??, para todas las escalas

A continuación se presentan los resultados de sedimentos obtenidos al realizar la simulación.

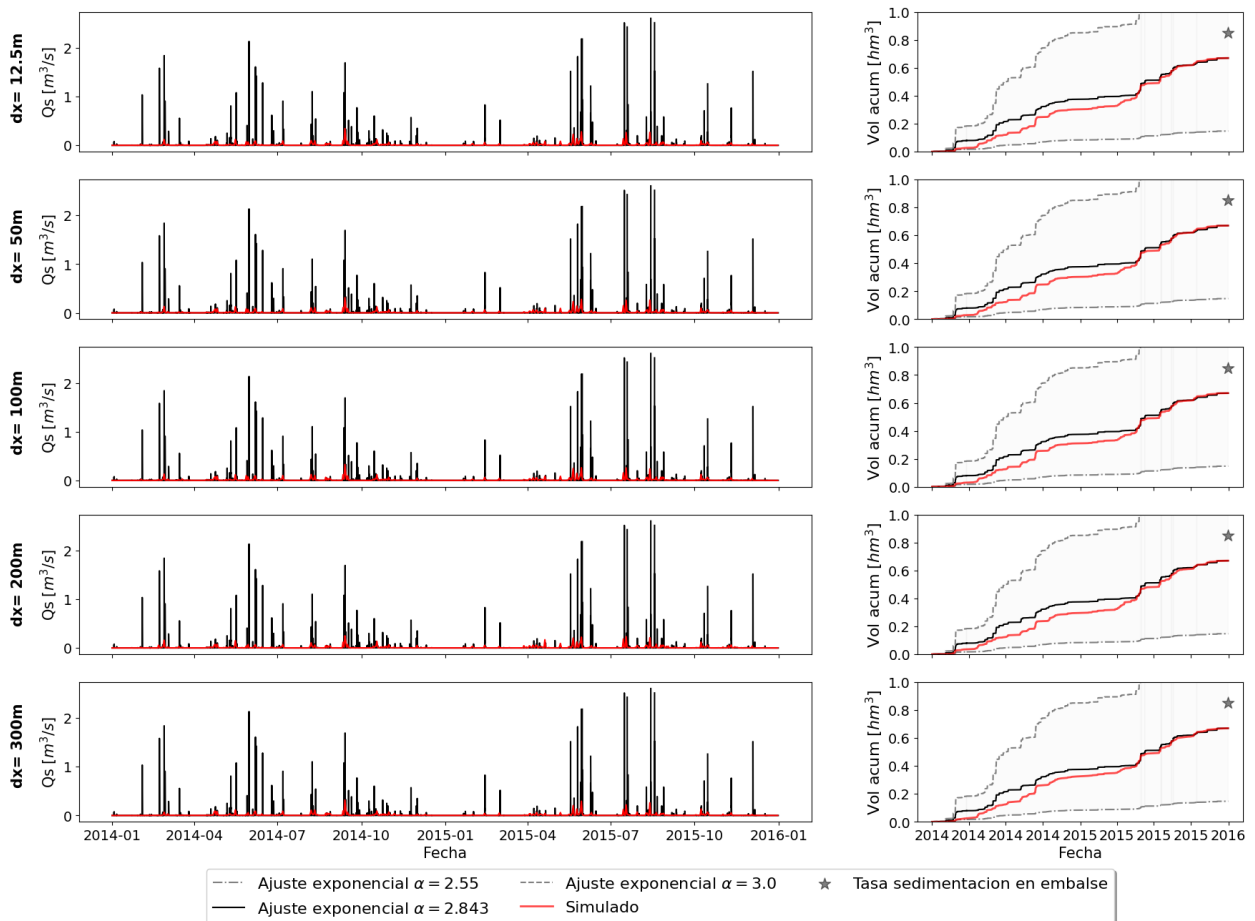


Figura C-1.: Series observadas y simuladas de caudal sólido para el periodo simulado en escala temporal diaria.

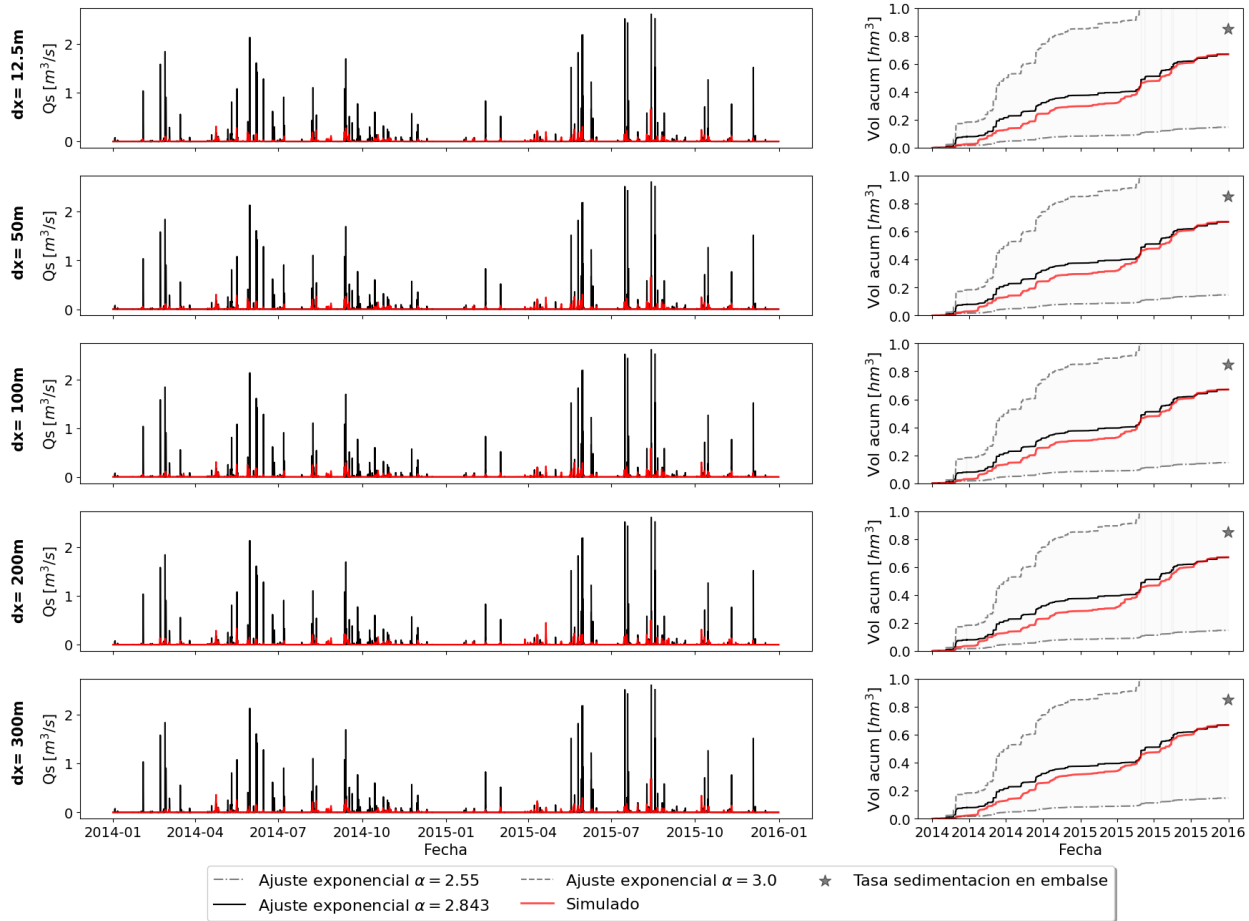


Figura C-2.: Series observadas y simuladas de caudal sólido para el periodo simulado en escala temporal de 12 horas.

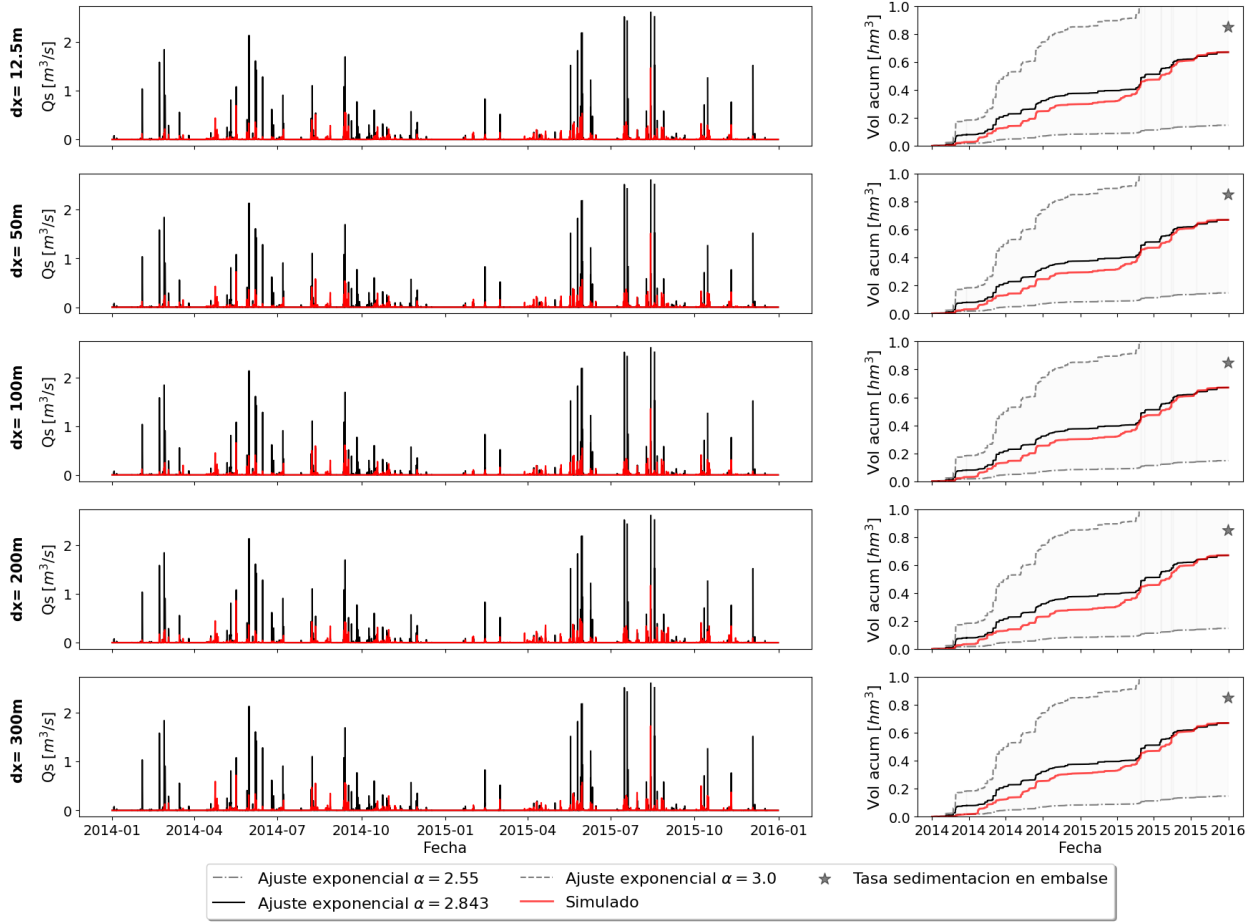


Figura C-3.: Series observadas y simuladas de caudal sólido para el periodo simulado en escala temporal de 6 horas.

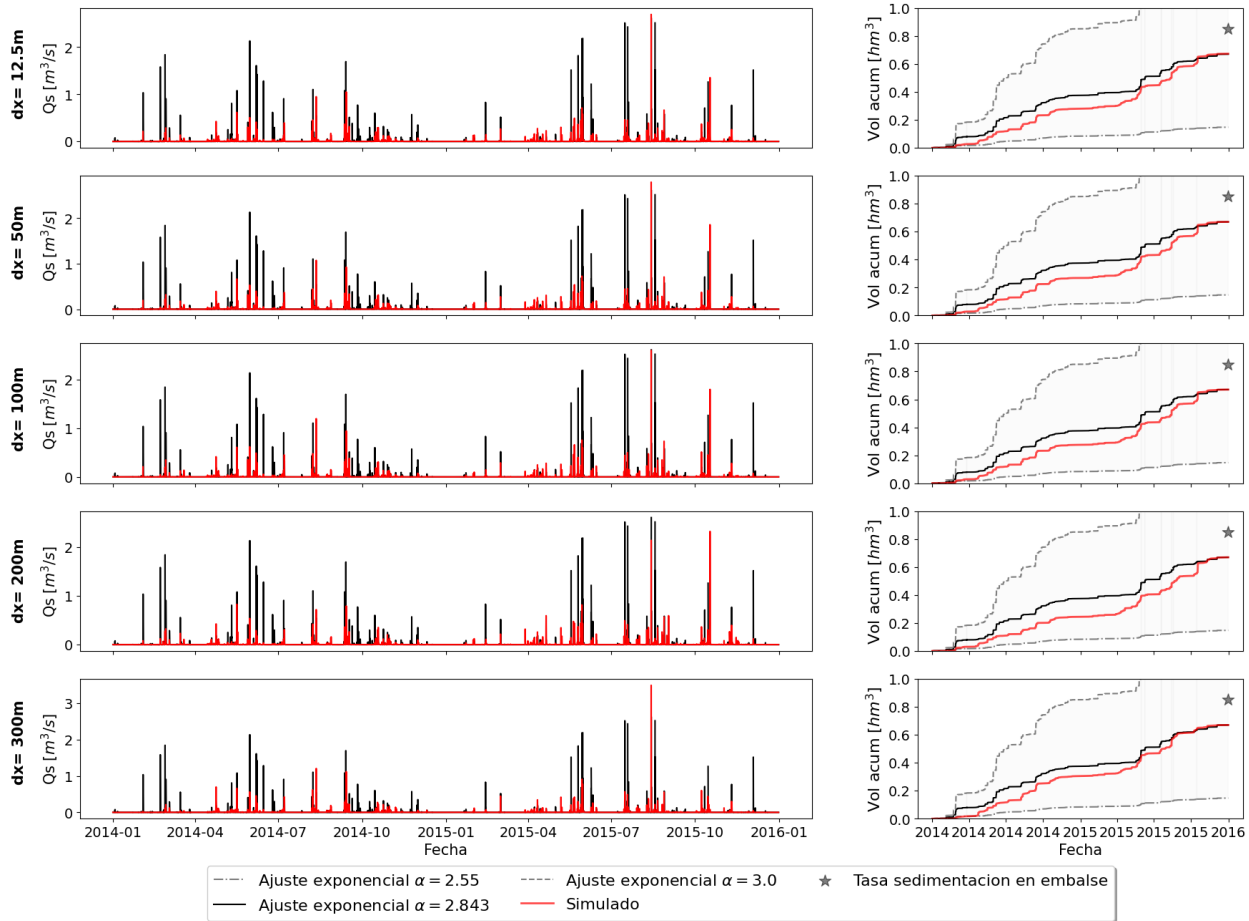


Figura C-4.: Series observadas y simuladas de caudal sólido para el periodo simulado en escala temporal de 3 horas.

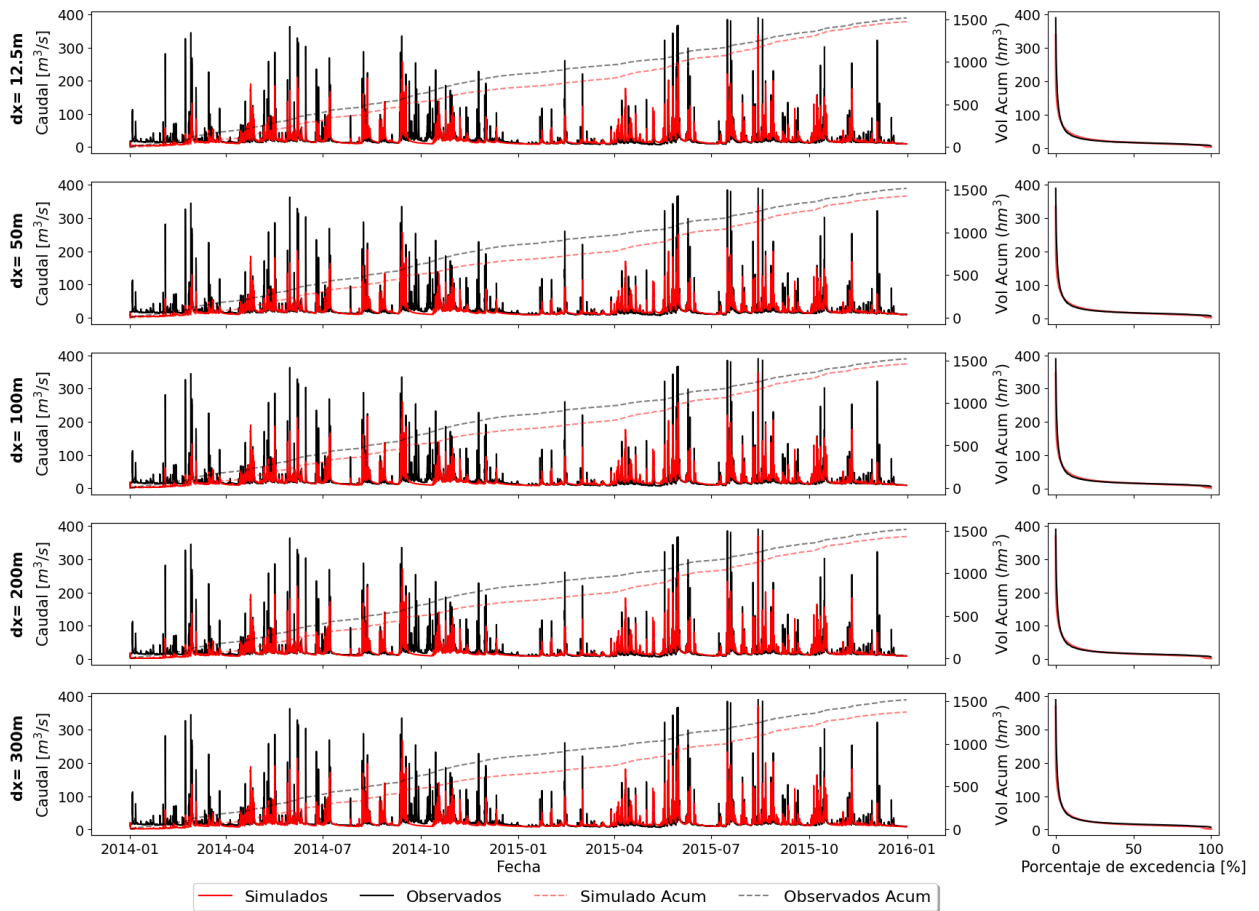


Figura C-5.: Series observadas y simuladas de caudal sólido para el periodo simulado en escala temporal de 1 hora.